

قابلیت نانو جاذب آلی با پایه کمپوست (Compost/Fe<sub>3</sub>O<sub>4</sub>NPs) در پاک سازی خاک های آلوده

<sup>۱</sup> لاله قفقازی، <sup>۲</sup> لعبت تقیوی، <sup>۳</sup> بهنام راسخ، <sup>۴</sup> هادی فراهانی و <sup>۵</sup> امیر حسام حسني

- (۱) دانشجوی دکتری رشته علوم و مهندسی محیط زیست، دانشکده منابع طبیعی و محیط زیست، واحد علوم و تحقیقات، دانشگاه آزاد اسلامی، تهران، ایران.

(۲) دانشیار گروه علوم محیط زیست و جنگل، دانشکده منابع طبیعی و محیط زیست، واحد علوم و تحقیقات، دانشگاه آزاد اسلامی، تهران، ایران.

\*رایانه نویسنده مسئول مکاتبات: [l.taghavi@srbiau.ac.ir](mailto:l.taghavi@srbiau.ac.ir)

(۳) دانشیار پژوهشکده محیط زیست و بیوتکنولوژی، پژوهشگاه صنعت نفت (RIPI)، تهران، ایران.

(۴) دانشیار پژوهشگاه صنعت نفت (RIPI)، تهران، ایران.

(۵) استاد گروه مهندسی محیط زیست، دانشکده منابع طبیعی و محیط زیست، واحد علوم و تحقیقات، دانشگاه آزاد اسلامی، تهران، ایران.

تاریخ دریافت: ۱۴۰۲/۰۶/۱۵ تاریخ پذیرش: ۱۴۰۲/۰۸/۱۰

حکایت

فتالات‌ها از مهمترین آلاینده‌های نوظهور طرخ در چالش سلامت انسان، اینمی غذایی و حفظ محیط زیست هستند. در این میان، آلدگی خاک‌های کشاورزی با ترکیب شیمیایی مختلف کننده غدد درون ریز دی (۲-۱-تیل هنگزیل) فتالات در سطح جهانی تایید شده است. در این پژوهش قابلیت جذب کمپوست DEHP در غنی‌شده با  $\text{Fe}_3\text{O}_4$ ، در حذف DEHP شناسایی گردید. تاثیر پارامترهای دوز جاذب در بازه ۲-۵ g/L بر لیتر، pH ۳-۱۱ و غلظت آلاینده DEHP در بازه ۱۰-۵۰ میلی‌گرم بر لیتر بر درصد کارایی جذب با روش سطح پاسخ در نرم‌افزار دیزاین اکسپرت بهینه‌سازی شد. نتایج آزمایش‌های تعادلی سینتیک، فرآیند دو مرحله‌ای را با اختساب ۶ ساعت زمان تعادلی، برای جذب اگزوترمیک DEHP در دمای ۲۵ درجه سانتی‌گراد نشان داد. ضمن آنکه فرآیند جذب با مدل سینتیک خطی و غیرخطی شبیه درجه دوم کاذب ( $R^2 = 0.9932$ ) و شبک خطی ابزوترم فرونولچی ( $R^2 = 0.9906$ ) بهترین وجه برازش داده شد. در طراحی مرکب مرکزی، مدل معنی دار درجه دوم در پیش‌بینی برهم‌کنش متغیرها به خوبی برازش یافت ( $P-value < 0.0001$ ). شرایط بهینه کارایی جذب (۱۷۳/۷۴ درصد) در دوز ناتوجاذب ۱۵۷/۴ g/L بر لیتر، pH ۵/۸۵ معادل ۴/۸۸ میلی‌گرم بر لیتر و با مطلوبیت ۹/۸۷ حاصل شد. مقایسه طیف‌های جذبی FTIR مشارکت فعل باندهای O-H گروههای عاملی فل، الكل، کربوکسیل و آمین نوع اول (N-H) جاذب را در جذب DEHP از طریق برهم‌کنش با اکسیژن گروه استرفتالات (C=O) تایید کرد. بنابراین، کاربرد جاذب Compost/Fe<sub>3</sub>O<sub>4</sub> NPs با پایه پسماندهای آلی به واسطه کارایی موثر و قابل قبول می‌تواند به عنوان روشی کم‌هزینه و دوست‌دار محیط‌زیست در حذف آلاینده مقاوم DEHP از بوم‌سازگان‌های حساس و نیز با هدف بهبود کارایی زیست‌پایای در خاک‌های کشاورزی اصلاحی با کمی‌سنتیز شدن گردید.

**وازه‌های کلیدی:** سمناند آلم، حفاظت محیط زست، دی(۲-اتیا هگزنا)، فتالات، روشن، سطح باریک، سلامت خاک.

مقدمة

کشاورزی مطرح می‌گردد. این آلاینده به طور عموم به عنوان پلاستی سایزر<sup>۲</sup>(نرم کننده) برای بهبود انعطاف‌پذیری و دوام ترکیبات پلیمری مانند پلی‌وینیل کلرید (PVC)، پلی‌پروپیلن و Billings *et al.*, 2021; Ghosh & Sahu, 2022; Huang *et al.*, 2021; Tran *et al.*, 2022 دی(۲-اتیل هگزیل) فتالات (DEHP)<sup>۱</sup> پر مصرف‌ترین ترکیب استری از کلاس فتالات‌ها است و به عنوان یکی از مهمترین آلاینده‌های نوظهور اولویت‌دار در محیط زیست به ویژه در بحث سلامت انسان و ایمنی غذایی محصولات

1 Di (2-ethylhegzyl) phthalate

#### 2 Plasticizer

فعالیت و مقدار آنزیم‌های آنتی اکسیدان (افزایش سوپراکسیداز دیسمیوتاز و مالون دی آلدید<sup>۳</sup> به عنوان نشانگر های استرس اکسیداتیو)، پروتئین‌های حیاتی، اختلال غشای سلولی، اندامک‌ها و صدمه به DNA تایید و غلاظت <sup>۳</sup> میلی‌گرم بر کیلوگرم DEHP در خاک به عنوان حد احتیاط در برابر خطر فتالات‌ها برای ارگانیسم‌های خاک توصیه شد (Ma et al., 2017).

مایع روغنی چسبناک، چربی دوست، بی‌رنگ و حلال در روغن از دو زنجیره <sup>۸</sup> کربنی اتیل‌هگزن تشکیل و ساختار شاخه‌دار آن از طریق دو پیوند استری به اسیدفتالیک متصل و ترکیبی با فرمول شیمیایی  $C_{24}H_{38}O_4$  ایجاد می‌کند. جرم مولی آن  $390.56$  گرم بر مول، حلایت در آب  $0/003$  میلی‌گرم بر لیتر و ضریب اکтанول/آب <sup>۴</sup> آن،  $7/5$  می‌باشد. به دلیل خاصیت آب‌گریزی، وزن مولکولی زیاد و ساختار شاخه‌دار، در دسته ترکیبات سخت‌تجزیه‌پذیر با پراکنش گسترده قرار می‌گیرد (Gonzalez-Escobar et al., 2020).

DEHP به طور شیمیایی با پلاستیک‌ها پیوندکووالانسی قوی برقرار نمی‌کند، بنابراین در نتیجه فرآیندهای تولید، مصرف، استفاده مکرر و بازیافت و دفن پسماندهای پلاستیکی، به طور گسترده در محیط زیست توزیع و در غلاظت‌های مختلف در خاک، آب شیرین، رسبات کف رودها و تالاب‌ها، شیرابه محل دفن و لجن فاضلاب شناسایی شده است (Lamraoui et al., 2020). حضور غالب DEHP در خاک‌های کشاورزی و تجمع زیستی آن در سبزیجات و صیفی‌جات کشاورزی در کشورهای مختلف از جمله چین گزارش و مسیر مواجه غالب آن رژیم غذایی معرفی شده است (Chai et al., 2014; Dankova et al., 2016; Giuliani et al., 2020; He et al., 2015; Li et al., 2021).

استاندارد آژانس حفاظت محیط زیست آمریکا، حد ماقریم آلایندگی آب آشامیدنی <sup>۵</sup> به DEHP را  $0/006$  میلی‌گرم بر لیتر و آستانه خطر محیط‌زیست <sup>۶</sup> در خاک را  $1$  میلی‌گرم بر کیلوگرم ( $1000$  میکروگرم بر کیلوگرم) تعیین کرده و مواجه بالاتر از این میزان را باعث آسیب کبد، مشکلات تولیدمثلی و سرطان‌زاوی اعلام نموده است (Van Wezel et al., 2000).

اتحادیه اروپا برای آلایندگه دارای اولویت DEHP حد آلایندگی  $1/3$  میلی‌گرم بر لیتر را به عنوان

سال ۲۰۲۱ میلادی، تولید جهانی فتالات‌ها  $300$  میلیون تن در سال تخمین و پیش‌بینی گردید تا سال  $2050$  میلادی، به عنوان DEHP (Huang et al., 2021) به عنوان ترکیب شیمیایی شبه استروژنی مختلط‌کننده غدد درون‌ریز (EDC)<sup>۱</sup> شناخته می‌شود که باعث مشکلات تولیدمثلی شده و از تکثیر سلولی جلوگیری می‌کند و مقادیر قابل اندازه‌گیری آن در کبد، کلیه، بیضه، سرم‌خون و ادرار انسان گزارش شده است (Kumar et al., 2020; Lamraoui et al., 2020).

متabolیکی مقاومت به انسولین نیز در شواهد اپیدمیولوژیک انسانی مواجه با DEHP تایید شده است (Radke et al., 2019).

از طرفی، پیامدهای محیط زیستی و اکولوژیکی فتالات بر آبزیان، بوم‌سازگان‌های آبی و حیات ارگانیسم‌های خاک گزارش شده است. در پژوهش Salvaggio و همکاران (۲۰۱۹)، مقادیر بالای ترکیبات فتالات به ویژه DEHP، در *Lepidopus caudatus* (ماهی قلابی نقره‌ای) مانند ماهیچه، روده، غدد جنسی و کبد ماهی نشان داده شده است. مطالعه مذکور به نوعی تاثیر حضور مواد شیمیایی مختلط‌کننده غدد را در ارتباط با پسماندهای پلاستیکی و تجمع زیستی بالقوه میکروپلاستیک‌ها و فتالات در موجودات دریایی که تهدیدی جدی برای اکوسیستم‌های آبی و حیات دریایی بوم‌سازگان (۲۰۲۱) آبی هستند، تایید می‌کند. مطالعه Gu و همکاران (Mytilus coruscus) در توازن متابولیک صدف دریایی اخたلال در فتالات نشان می‌دهد، به طوری که پاسخ آنتی اکسیدانی بافت گنادی صدف با افزایش غلاظت فتالات‌ها زیاد گردید. در مجموع این ترکیبات بر متابولیزم اسید‌آمینه، لپید، انرژی، تنظیم اسمزی و فعالیت‌های عصبی صدف تاثیر داشتند. از طرفی بررسی اثرات سمیت وابسته به دوز دی-(اتیل‌هگزیل) فتالات در صدف دو کفه مدیترانه‌ای *Mytilus galloprovincialis* تغییرات چشمگیر در فعالیت آن‌زیم‌های آنتی اکسیدانی کاتالاز و سوپراکسیداز دیسمیوتاز <sup>۲</sup> نشان داد (Xu et al., 2021).

حضور DEHP به عنوان فتالات غالب و مقاوم به تجزیه در بوم‌سازگان‌های خشکی مورد توجه پژوهشگران محیط زیست قرار گرفت. اثرات سمی DEHP بر کرم خاکی *Eisenia fetida* به دنبال اختلال در

<sup>4</sup> n-octanol-water partition coefficient (Kow)

<sup>5</sup> Maximum Contaminant Level

<sup>6</sup> Environmental Risk Limit (ERL)

<sup>1</sup> Endocrine-Disrupting Chemical (EDC)

<sup>2</sup> Superoxide dismutase (SOD)

<sup>3</sup> Malondialdehyde (MDA)

## قابلیت نانوحاذب آلی، با پایه کمپوست (Compost/Fe<sub>3</sub>O<sub>4</sub>NPs) در پاکسازی، خاک‌های آلوده/۱۶۳

از مواد آلی بوده و به واسطه گروههای عاملی فراوان و فعال، می‌توانند با ترکیبات آلی و معدنی تعامل داشته باشند. نقش موثر جاذب زیستی ارزان و دوست‌دار محیط‌زیست کمپوست در حذف فلزات سنگین و رنگ، شناسایی شده است (Anastopoulos & Kyzas, 2015; Paradelo *et al.*, 2019) اما در زمینه نقش کمپوست در جذب ترکیبات استری فتالات از خاک‌های کشاورزی، مطالعات قابل توجهی صورت نگرفته است. کمپوست عموماً در نقش اصلاح‌کننده به منظور بهبود باروری و حاصل‌خیزی خاک‌های کشاورزی، اصلاح خصوصیات فیزیکوشیمیایی و افزایش مواد آلی و مغذی خاک استفاده می‌گردد. ضمن آنکه، در زیست‌پایایی خاک‌های آلوده به هیدرورکربن‌های آروماتیک، آفت‌کش‌ها، کلروفنل‌ها، هیدرورکربن‌های نفتی و فلزات سنگین نیز به طور موثر استفاده شده است (Chen *et al.*, 2015). بنابراین، توجه به خصوصیات کمپوست در نقش جاذب، علاوه بر افزایش کارآیی آن در زیست‌پایایی خاک‌های آلوده، می‌تواند در جذب سطحی، شیمیایی و حذف موثر ترکیبات مقاوم DEHP از محیط زیست مورد توجه قرار گیرد. توزیع بهینه منافذ، واکنش‌پذیری سطحی، آب‌گریزی و گروههای عاملی فراوان، از ویژگی‌های ساختاری منحصر به فرد جاذب زیستی کمپوست در حذف آلاینده‌های محیطی است. با توجه به تغییر رویکرد از کشاورزی سنتی به مدرن و به واسطه تنش شدید آبی، حرکت در مسیر توسعه کشت محصولات گلخانه‌ای در بسیاری از استان‌های کشور به ویژه استان‌های مناطق خشک و نیمه‌خشک، شتاب قابل توجهی گرفته است و این امر با توجه به مصرف بالای پوشش‌های پلاستیکی حاوی شوائب در سیستم‌های کشت گلخانه‌ای و صیفی‌کاری (مالج پلاستیکی)، ضرورت تحقیق در زمینه حذف ترکیبات سمی DEHP را به منظور اینمی غذایی محصولات کشاورزی و حفظ سلامت خاک و محیط زیست نشان می‌دهد. بنابراین هدف از تحقیق حاضر، شناسایی قابلیت نانوحاذب زیستی با پایه کمپوست در افزایش فراهمی زیستی آلاینده پایدار DEHP از طریق شناسایی سازوکار جذب سطحی، بهبود و بهینه‌سازی فرآیند است که به نوعی در کاهش پیامدهای بوم شناختی و سلامتی ترکیبات فتالات تاثیرگذار خواهد بود.

استاندارد کیفیت محیط زیست<sup>۱</sup> تعیین کرده است (European Commission., 2011). به دلیل پتانسیل بالای خطر محیط زیستی و سلامتی DEHP سازمان بهداشت جهانی و سازمان‌های حفاظت محیط زیست استرالیا و نیوزلند، آستانه توصیه شده غلظت این آلاینده را در آب آشامیدنی به ترتیب ۹/۸ و ۱۰ میکروگرم بر لیتر تعیین کردند (شریعتی و همکاران، ۱۴۰۰). حد مجاز آلاینده‌گی خاک در استاندارد آلاینده‌گی خاک سازمان محیط‌زیست ایران نیز ۱ میلی‌گرم بر کیلوگرم در خاک‌های کشاورزی اسیدی و قلیایی تعیین شده است. در ایران تحقیقات محدود صورت گرفته در رسوبات تالاب انزلی، آب خلیج چابهار و خاک پایین‌دست محل دفن پسماند سراوان، غلظت فتالات‌ها به ویژه DEHP را بیشتر از آستانه خطر محیط زیست این آلاینده، نشان می‌دهد (نصیری و همکاران، ۱۳۹۹؛ مصطفی‌لو و همکاران، ۱۳۹۷؛ Shariati *et al.*, 2022) با غلظت میانگین ۳۳۳۹/۴ میکروگرم بر کیلوگرم بیشترین فراوانی را در ۲۲ ایستگاه مورد بررسی در تالاب انزلی داشت (Shariati *et al.*, 2019). میانگین غلظت DEHP در خاک پایین‌دست محل دفن سراوان (فاصله دو کیلومتری محل دفن و در معرض شیرابه)، ۴/۵۲ میلی‌گرم بر کیلوگرم ردیابی شد که از آستانه خطر محیط زیست این آلاینده در خاک (۱۰۰۰ میکروگرم بر کیلوگرم) بالاتر بود (Shariati *et al.*, 2022).

آلودگی خاک‌های کشاورزی به فتالات، در نتیجه مصرف مستقیم پوشش‌های پلاستیکی مالج (کشت گلخانه‌ای و پلی‌تونل)، فاضلاب و جامدات زیستی، کود و آفت‌کش‌های شیمیایی در سطح جهانی تایید شد (He *et al.*, 2015; Gao & Wen, 2016; Dankova *et al.*, 2016; Li *et al.*, 2021). بنابراین در این پژوهش، به واسطه خاصیت آب‌گریزی این آلاینده و خطر تجمع زیستی در محصولات کشاورزی و پیامدهای زیانبار بر زنجیره غذایی، کارآیی جذب آن بر جاذب آلی کمپوست اصلاح‌شده با نانوذره آهن (Compost/Fe<sub>3</sub>O<sub>4</sub>NPs) بر روی بستر پایه خاک کشاورزی مورد شناسایی قرار گرفت.

در پژوهش‌های نوین، کاربرد کمپوست در نقش جاذب در زمینه پاکسازی محیط زیست مورد توجه قرار گرفته است. کمپوست حاصل از ثبیت و فرآوری زائدات فسادپذیر، غنی

۹۹/۵ C<sub>24</sub>H<sub>38</sub>O<sub>4</sub> (Cas No.117-81-7) با درجه خلوص بالای ۹۹/۵

درصد، چگالی ۰/۹۹ گرم بر سانتی متر مکعب و جرم مولی ۳۹۰/۵۷ گرم بر مول از شرکت سیگما‌آلدریج خریداری گردید. ساختار مولکولی آلینده هدف DEHP در شکل (۱) نشان داده شده است. از حلال‌های استخراجی n - هگزان (فرمول شیمیایی C<sub>6</sub>H<sub>14</sub>) و ۳-۵۴ (Cas No.110-54-3) و استون (Index No.606-001-00-8) (فرمول شیمیایی CH<sub>3</sub>COCH<sub>3</sub>) در گرید آنالیز با خلوص بالای ۹۹ درصد شرکت مرک آلمان استفاده شد. از حلال‌های بر پایه الکل متانول (CH<sub>3</sub>OH) و اتانول (C<sub>2</sub>H<sub>5</sub>OH) با گرید HPLC، اسید‌هیدروکلریک (HCl)، هیدروکسید سدیم (NaOH) و کلرید کلسیم بدون آب (CaCl<sub>2</sub>) در گرید آزمایشگاهی شرکت سیگما‌آلدریج و آب دوبار تقطیر نیز استفاده گردید.

## مواد و روش‌ها

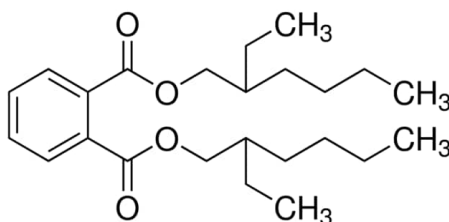
### مواد و حلال‌های شیمیایی مورد استفاده

کمپوست دانه‌ریز (ابعاد کوچک‌تر از ۲ میلی‌متر) از پسماندهای فسادپذیرخانگی (زادات میوه و سبزیجات تکیک شده در مبدأ) به روش لایه‌گذاری محفظه‌ای در مقیاس کوچک طی زمان ماند ۷۳ روز در بهار ۱۴۰۱ تهیه و به عنوان جاذب پایه زیستی، آماده‌سازی گردید. پودر نانوذره اکسید آهن Fe<sub>3</sub>O<sub>4</sub> (Cas No.1317-61-9) با پوشش پلی‌وینیل پیرولیدون<sup>۱</sup> (PVP) با قابلیت پخش شدگی<sup>۲</sup> در آب با ابعاد (۲۰-۳۰) نانومتر، جرم مولی ۲۳۱/۵۳ گرم بر مول، درجه خلوص بالای ۹۸ درصد و سطح ویژه (۴۰-۶۰) مترمربع بر گرم از شرکت یوس-اس-نانو خریداری شد. مهمترین مشخصات اولیه کمپوست انتخابی در نقش جاذب و نانوذره Fe<sub>3</sub>O<sub>4</sub> در نقش عامل در جدول (۱) ارایه شده است. ماده شیمیایی دی(۲-اتیل هگزیل فتالات) با فرمول شیمیایی

جدول ۱. خصوصیات اولیه جاذب کمپوست و نانوذره Fe3O4

ترکیب/ پارامتر	جرم مولی (gr.mol-1)	رنگ / ظاهر	Bulk Density (g.cm-3)	مواد آلی (%)	pH (1:10)	BET (m <sup>2</sup> .g-1)	ابعاد APS (mm)	ظرفیت تبادل کاتیونی CEC (meq/100g)
کمپوست	-	پودر قهوه‌ای	۰/۲۸۵	۴۷/۹۰	۷/۸۵	۱۹/۶۵۶	< ۲ mm	۷۰
نانوذره Fe3O4	۲۳۱/۵۳	پودر سیاه	۰/۸۴	-	۸/۱۹	۴۰-۶۰	۲۰-۳۰ nm	-

US Research Nanomaterials, Inc. (2022)



شکل ۱. ساختار مولکولی آلینده هدف DEHP

فاکتورهای کنترل فرآیند (دما، رطوبت، pH و نسبت کربن به ازت) و تیمار ۳۸ روز کرم خاکی Eisenia fetida تهیه گردید. افروندن کرم خاکی کمپوست‌ساز (Eisenia fetida) با هدف ارتقای کیفیت کمپوست در نقش جاذب به‌واسطه افزایش تخلخل، دانه‌بندی مناسب و بالارفتن ظرفیت سطحی ویژه صورت پذیرفت (Paradelo *et al.*, 2019). ضمن آنکه به‌واسطه حساسیت بالای این گونه نسبت به DEHP به عنوان شاخص سلامت کمپوست نهایی از نظر ترکیبات استری فتالات نیز در نظر گرفته شد. کمپوست رسیده در ابعاد کمتر

### آماده‌سازی نانوجاذب آلی Compost/Fe<sub>3</sub>O<sub>4</sub>

به‌منظور تهیه جاذب پایه و با توجه به میزان اولیه پسماند خام و روودی (۵ کیلوگرم) و چگالی پسماند خام (۳۷۵ کیلوگرم بر مترمکعب)، محفظه تهیه کمپوست از قطعات چوب مقاوم در برابر پوسیدگی و با منافذ بهینه، طراحی و ساخته شد. بدین ترتیب کمپوست مورد نیاز در مقیاس کوچک و آزمایشگاهی از زائدات میوه و سبزیجات تفکیک شده در مبدأ به روش لایه‌گذاری محفظه‌ای با پایش

## قابلیت نانوحاذب آلی، با بایه کمپوست (Compost/Fe<sub>3</sub>O<sub>4</sub>NPs) در ناکسازی خاک‌های آلوده/۱۶۵

با مخلوط آب دی‌بونیزه و اتانول (نسبت ۴:۱) شستشو داده شد (Song *et al.*, 2021). در نهایت محصول جامد به عنوان نانوحاذب آلی مغناطیسی (Compost/Fe<sub>3</sub>O<sub>4</sub>) در آون آزمایشگاهی به مدت ۲۴ ساعت در دمای ۶۰ درجه سانتی گراد خشک گردید.

### تعیین ساختار و شناسایی خصوصیات نانوحاذب آلی (Compost/Fe<sub>3</sub>O<sub>4</sub>)

ساختار جاذب را روش‌های آنالیز میکروسکوپ الکترونی روپیشی (FESEM)، آنالیز پراش پرتو ایکس (XRD)، آنالیز طیف‌سننجی مادون قرمز تبدیل فوریه (FTIR) و مغناطیس‌سننج لرزشی (VSM) شناسایی شد. بنابراین برای تعیین ویژگی‌های سطحی و تصاویر سه بعدی از دستگاه (TESCAN MIRA3, Philips PW1730- Netherlands) FESEM با بزرگنمایی ۱۰۰ تا ۲۰۰,۰۰۰ برابر و با قدرت تفکیک کمتر از یک تا ۲۰ نانومتر استفاده گردید. شناسایی فاز از طریق آنالیز XRD نرم‌ال (Nicolet Nicolet میکاران، ۱۳۹۶) در پراش سنج پانالیتیکال اکسپریت<sup>۲</sup> در محدوده ۱۰ تا ۸۰ درجه (۲θ) و با گام ۰/۰۵ درجه در ثانیه انجام شد. شناسایی پیوند و گروه‌های عاملی در بازه (۴۰۰-۴۰۰۰) بر سانتمتر (معکوس سانتمتر) از طریق طیف‌سننج (Thermo Avatar 360, USA) انجام شد. ویژگی مغناطیسی از طریق آنالیز میدان اعمالی تا شدت میدان مغناطیسی ۲ تسلا و رسم منحنی هیسترسیس با استفاده از داده‌های وادارندگی و منحنی مغناطش (میدان القایی VSM-MDKB) اشباع با استفاده از دستگاه VSM (Cryotronics 7407) صورت پذیرفت.

### استخراج و آنالیز باقی‌مانده DEHP

از روش اصلاحی مطالعات پیشین و دستورالعمل آژانس حفاظت محیط زیست (Method 8061-A-7.1.2/EPA 3550C) به منظور استخراج و آنالیز باقی‌مانده فتالات استفاده Chai *et al.*, 2014; Dankova *et al.*, 2016; He *et al.*, 2018; Liu *et al.*, 2018 (al., 2018). به طور خلاصه، استخراج در حضور حلال‌های استخراجی استون/هگزان (۱:۱۷/۷) و به مدت ۳۰ دقیقه در حمام التراسونیک WUC-D10H (D10H)، انجام شد. متعاقباً نمونه‌ها ۱۰ دقیقه در ۴۰۰۰ دور در دقیقه سانتریفیوژ و استخراج بر روی کف تیوب با ۲۰ میلی‌لیتر حلال تکرار گردید. سوپرناتانت با فیلتر غشایی

از ۲ میلی‌متر سرند و برای کاهش احتمال تجزیه میکروبی DEHP، در اتوکلاو آزمایشگاهی (WOSON, China) در ۱۲۱ درجه سانتی گراد به مدت ۶۰ دقیقه از طریق بخار تحت فشار استریل شد. قابل ذکر است که در برخی منابع علمی برای کاهش فعالیت میکروبی در بسترها مشابه کمپوست (خاک)، استفاده از ترکیب شیمیایی قوی سدیم آزید (Na<sub>3</sub>N) پیشنهاد شده است (Minling *et al.*, 2015). اما در این پژوهش به دلیل احتمال واکنش شیمیایی آهن با سدیم، از این روش استفاده نشد. در مرحله بعد کمپوست استریل در داخل آون دیجیتال آزمایشگاهی در دمای ۷۰ درجه سانتی گراد به مدت ۴ ساعت خشک، آسیاب و به نوعی پیش تیمار گردید (Paradelo *et al.*, 2019). به منظور افزایش تخلخل و فعال نگهداشتن جاذب، کمپوست الک شده با استفاده از اسید کلریدریک یک مولار به مدت ۶ ساعت در دمای ۵۰ درجه سانتی گراد احیا شد. سپس ۵ مرتبه با آب دی‌بونیزه شستشو داده شد تا حالت اسیدی آن به خشی تبدیل شود. پس از فیلتر، سرباره جامد (جادب کمپوست) در دمای ۹۰ درجه سانتی گراد در آون به مدت ۶ ساعت برای استفاده در مراحل بعد، خشک گردید (دهقان و همکاران، ۱۳۹۶؛ قربانی و همکاران، ۱۳۹۶). سوپرانسیون نانوذره Fe<sub>3</sub>O<sub>4</sub> با غلظت ۱/۲ گرم بر لیتر به روش تعلیق و پخش کردن با انحلال ۰/۱۸ لیتر Fe<sub>3</sub>O<sub>4</sub> در ۱۵۰ میلی‌لیتر آب دی‌بونیزه، آماده گردید. با توجه به پیشینه تحقیق به دلیل تاثیر کمتر پارامتر دوز نانوذره در جذب سطحی ترکیبات فتالات در مقایسه با سایر پارامترهای انتخابی، غلظت نانوذره Fe<sub>3</sub>O<sub>4</sub> در طول آزمایش ثابت فرض گردید (دهقان و همکاران، ۱۳۹۶).

به منظور نشاندن نانوذرات، پودر کمپوست (۱۰ گرم) به سوپرانسیون نانوذره Fe<sub>3</sub>O<sub>4</sub> (حجم ۱۵۰ میلی‌لیتر) اضافه و به مدت ۱۰ دقیقه، در دمای ۳۰ درجه سانتی گراد و با کارآیی Wise Clean ۶۰ درصد به روش فراصوت<sup>۱</sup> همگن‌سازی (WUC-D10H, Germany) شد. مخلوط حاصل در مجاورت نیتروژن اتمسفر به مدت ۲ ساعت در داخل همزن مغناطیسی (هیتراستیر دیجیتال، آلفا-500) در دمای کنترل شده، گرم و یکنواخت گردید. بعد از پیش‌بینی احتمال واکنش (بعد از ۲ ساعت با توجه به پیشینه تحقیق)، سوپرانسیون حاصل به مدت ۱۵ دقیقه در ۳۰۰۰ دور در دقیقه سانتریفیوژ و رسوب

1 Sonicate

2 PANalytical X'Pert HighScore Plus 3

میلی لیتر محلول DEHP (۱۰ میلی گرم بر لیتر) اضافه شد. سوسپانسیون نمونه‌ها در دماهای ۲۵ و ۳۵ درجه سانتی گراد (۲۹۸ و ۳۰۸ درجه کلوین) و با تنظیم دور ۲۰۰ دور در دقیقه به مدت ۱ ساعت در ترموشیکر دیجیتال (Gerhardt, Germany) مخلوط شدند. به طور مشابه سوسپانسیون گروه کنترل با نمونه خاک و بلانک صرفاً با محلول DEHP (۱۰ میلی گرم بر لیتر)، بدون حضور نانو جاذب کمپوست در نظر گرفته شد. از معادلات خطی و غیرخطی سینتیک شبه درجه اول کاذب، شبه درجه دوم کاذب و معادله الوریچ<sup>۳</sup> برای آنالیز داده‌های آزمایش استفاده گردید.

- آزمایش‌های تعادلی ایزوترم جذب بر اساس دستورالعمل ۱۰۶ سازمان توسعه و همکاری اقتصادی<sup>۴</sup> به منظور تعیین رابطه بین ماده جذب‌شونده در فاز مایع و ماده جذب‌شونده روی سطح جاذب در حالت تعادل و در دمای ثابت با هدف شناسایی مدل‌های جذب بر روی سایتهاي فعال سطح جاذب، انجام پذیرفت. محلول‌های آماده شده با غلظت‌های مختلف DEHP (۱۰، ۲۰، ۴۰، ۸۰، ۱۰۰ میلی گرم بر لیتر) به تیوب‌های شیشه‌ای اضافه و نانو جاذب کمپوست (۲ گرم بر لیتر) در دمای ثابت ۲۵ درجه سانتی گراد (۲۹۸ درجه کلوین)، بدان اضافه گردید. اختلاط نمونه و سنجش فتالات مانند آزمایش سینتیک صورت گرفت. با محاسبه تفاوت بین غلظت تعادلی و غلظت اولیه در فاز آبی، مقدار فتالات جذب شده در فاز جامد، محاسبه شد. تیمار بلانک بدون جاذب برای بررسی احتمال جذب DEHP روی ظروف شیشه‌ای اجرا و نتیجه نشان داد که هیچ از دست دادن آشکار DEHP در بلانک وجود ندارد و جذب DEHP می‌تواند در ظروف شیشه‌ای نادیده گرفته شود. از ایزوترم‌های خطی لانگمویر<sup>۵</sup>، فروندلیچ<sup>۶</sup> و تمکین<sup>۷</sup> برای مدل‌سازی جذب DEHP استفاده شد. برای نمونه، ایزوترم فروندلیچ بر مبنای جذب چند لایه و ناهمگن ماده جذب‌شونده بوده و رابطه خطی آن به شکل معادله (۱) می‌باشد.

$$\ln q_e = \ln K_f + 1/n \ln C_e \quad (1)$$

$C_e$  غلظت تعادلی DEHP (میلی گرم بر لیتر)،  $q_e$  غلظت جذب شده در زمان تعادل (میلی گرم بر گرم)،  $K_f$  میلی گرم بر گرم در (لیتر بر میلی گرم) به توان ثابت معکوس فروندلیچ<sup>۶</sup> و  $n$  ثابت فروندلیچ می‌باشد. پارامترهای  $K_f$  و  $n$  به-

سرسرنگی آبدوست ۰/۴۵ میکرومتر فیلتر و برای جداسازی ذرات آهن از سوپرناتانت، از آهنربای مغناطیسی استفاده شد. آنالیز از طریق دستگاه کروماتوگرافی گازی مجهز به دتکتور یونیزاسیون شعله (Agilent 7890B) (GC/FID)<sup>۸</sup> انجام پذیرفت.

### آزمایش‌های تعادلی ناپیوسته جذب DEHP (سینتیک، ایزوترم و بهینه‌سازی جذب)

آزمایش‌های تعادلی ناپیوسته جذب سطحی با آماده‌سازی محلول‌های آزمایش (حجم ۲۵ میلی لیتر) در غلظت‌های (۱-۱۰) میلی گرم بر لیتر DEHP در راستای شناسایی مدل‌های جذب سینتیک، ایزوترم و بهینه‌سازی صورت پذیرفت. بازه انتخابی در اکثر مطالعات بررسی کارآیی جذب و حذف Minling *et al.*, 2015; (Qureshi *et al.*, 2016; Xie *et al.*, 2020

آزمایش‌های در داخل لوله‌های آزمایش شیشه‌ای در پیچ دار (پوشیده با فویل) به حجم ۴۵ میلی لیتر و ابعاد (۲۴×۱۵۰) میلی متر انجام گرفت. در شروع آزمایش محلول استاندارد ذخیره (استوک) DEHP (۱۰۰۰ میلی گرم بر لیتر) با حل کردن DEHP در حلal مтанول (۰/۱ گرم بر ۱۰۰ میلی لیتر) تهیه و در دمای ۴ درجه سانتی گراد در یخچال نگهداری شد. در ادامه، محلول استاندارد (غلظت ۱۰ میلی گرم بر لیتر) با رقیق‌سازی مناسب از محلول استوک اولیه به کمک حلal مtanول، آماده سازی شد. غلظت‌های مختلف DEHP در بازه انتخابی (۱-۱۰) میلی گرم بر لیتر از رقیق‌سازی محلول استاندارد با محلول آب دی‌یونیزه شامل کلرید کلسیم ۰/۰۱ مولار (به منظور ثابت نگهداشتن نیروهای یونی) تهیه گردید (Minling *et al.*, 2015). از ظروف پلاستیکی برای جلوگیری از احتمال خطای آلوگی، استفاده نشد و در کمپوست نیز آلوگی زمینه DEHP ردیابی نگردید.

- رسم منحنی سینتیک جذب سطحی DEHP در فواصل زمانی ۱۰ دقیقه تا ۲۴ ساعت، با دوز ثابت جاذب (۲ گرم بر لیتر) و در دمای مختلف انجام گرفت. نمودار سینتیک به پایش میزان جذب با توجه به زمان در فشار یا غلظت ثابت و شناسایی نحوه انتشار داخلی مواد جذب شونده در داخل منافذ جاذب کمک می‌کند. بنابراین برای آماده‌سازی، ۰/۰۵ گرم از جاذب به تیوب‌های شیشه‌ای در پیچ دار، شامل ۲۵

<sup>4</sup> Langmuir linear

<sup>5</sup> Freundlich linear

<sup>6</sup> Temkin

<sup>1</sup> Gas Chromatography/ Flame Ionization Detector

<sup>2</sup> Elovich

<sup>3</sup> OECD: Test No. 106: Adsorption - Desorption Using a Batch Equilibrium Method

نهایت پیش‌بینی پاسخ و اعتبارسنجی مدل در محیط آزمایش Anastopoulos & Kyzas, ۱۳۹۶؛ است (دهقان و همکاران، ۱۳۹۶؛ ۲۰۲۰). (2015; Azari *et al.*, 2019; Kalajahi *et al.*, 2020)

طراحی مرکب مرکزی با سه عامل در پنج سطح { $\alpha$  (۱/۶۸)،  $-1$ ، صفر،  $+1$ ،  $+a$ } با فاصله سطوح برای انتخاب گردید. سه فاکتور دوز جاذب در بازه (۲-۵) (X<sub>1</sub>) گرم بر لیتر، pH در بازه (۱۱-۳) (X<sub>2</sub>) و غلاظت DEHP (X<sub>3</sub>) در بازه (۵-۱۰) میلی گرم بر لیتر به عنوان متغیر مستقل انتخاب (جدول ۲) و زمان تماس ۶ ساعت در دمای ۲۵ درجه سانتی گراد با توجه به نتایج آزمایش‌های سیستیک در نظر گرفته شد. درصد کارایی جذب DEHP (پاسخ) طی ۲۰ اجرا بر اساس ۸ نقطه فاکتوریل، ۶ نقطه محوری و ۶ نقطه مرکزی، آنالیز و پنهانسازی، شد (جدول ۴).

جدول ۲. مقادیر متغیرهای مستقل (فاکتورهای واقعی) در سطوح کدشده طراحی RSM/CCD							
- <i>a</i>	-1	0	+1	+ <i>a</i>	متغیر مستقل	فاکتور	
+۹۷۹۳	۲	۳/۵	۵	۶/۰۲۲	(g.L-1)	دوز جاذب	
+۷۷۲۸	۳	۷	۱۱	۱۳/۷۳	pH	X2	
۳/۳۰	۵	۷/۵	۱۰	۱۱/۷۰	(mg.L-1)	DEHP غلظت	X3

دارند (شکل ۲۰). نانوذرات شبیه کروی  $\text{Fe}_3\text{O}_4$  در ابعاد نانومتر در شکل (۲) مشخص شده است. در میکروگراف نانوجاذب آلی، بهویژه در بزرگنمایی بالا، نانوذرات  $\text{Fe}_3\text{O}_4$  قابل مشاهده‌اند که در سطح کمپوست بدون آگلومره شدن تشییت شدند (شکل ۲-۵).

در طیف پراش اشعه ایکس XRD نانو جاذب آلی، وجود ذرات آهن با شماره رفرنس 01-076-0958 تایید شد. XRD مقادیر بالای سیلیس (Ref: 01-085-1054)، کربنات کلسیم (Mg<sub>0.03</sub>Ca<sub>0.97</sub>)CO<sub>3</sub> (Ref: 01-089-1304) و مینیزیوم سیلیکات آلومنیوم کلسیم سدیم (Ref: 01-076-0927) را در ساختار جاذب نشان داد. شکل ۱۳ (الف).

بر اساس آنالیز مغناطیسی سنج ارتعاشی VSM (شکل ۳ب) با افزایش میدان مغناطیسی خارجی اعمال شده بر جاذبه، خاصیت مغناطیسی تا نقطه اشباع افزایش و با کاهش اندازه میدان، منحنی بازگشت روی منحنی رفت قرار نگرفت. وقتی

ترتیب از طریق شیب و عرض از مبدأ نمودار خطی  $\ln q_e$  در مقابله  $\ln C_e$  تعیین گردید.

مقدار فتالات جذب شده  $\eta$  از رابطه تعادل جرم با فرض ثابت بودن چگالی فاز مایع از معادله (۲) و کارآیی جذب از معادله (۳) محاسبه شد.

$$q_e = \left( V^L / m_{ads} \right) (C_0 - C_e) \quad (2)$$

$$RE (\%) = (C_0 - C_e) / C_0 \times 100 \quad (3)$$

مقدار جذب شده،  $V^L$  (لیتر) حجم (میلی گرم بر گرم) و فاز مایع،  $C_{\text{ads}}$  (گرم جاذب،  $C_0$ ) غلظت اولیه و (میلی گرم بر لیتر) غلظت تعادلی در فاز مایع است.

RSM/CCD پیهنه‌سازی چذب بر مبنای

بهینه‌سازی با روش سطح پاسخ در نرم‌افزار دیزاین اکسپرت (11.0.3.0) با انتخاب بازه متغیرهای تاثیرگذار (پیشینه تحقیق)، طراحی شد. این روش شامل آزمایش‌های طراحی شده آماری، برآورده ضرایب در مدل ریاضی و در

جدو

فاکتور	متغیر مستقل	<b>DEHP (mg.L-1)</b>	<b>pH</b>	<b>(g.L-1) جاذب دوز</b>	۰	-۱	- <i>a</i>
X1	(g.L-1)	۶/۰۲۲			۳/۵	۲	۰/۹۷۹۳
X2	pH	۱۳/۷۳			۷	۳	۰/۲۷۲۸
X3	غلظت DEHP	۱۱/۷۰			۷/۵	۵	۳/۳۰

آنالیز و تحلیل آماری

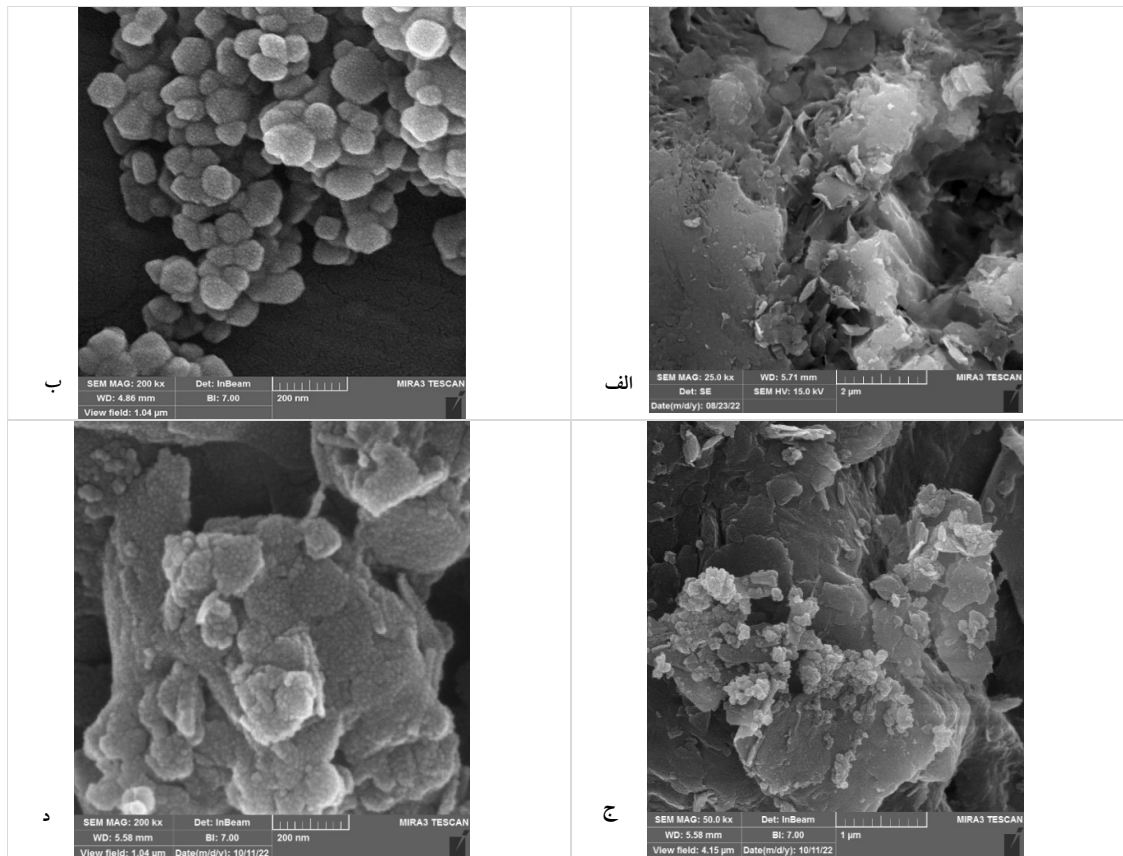
تحلیل آماری داده‌ها از طریق معادلات چندجمله‌ای، آنالیز واریانس<sup>۱</sup>، ارزیابی تناسب مدل با پارامترهای  $R^2$  Adjusted  $R^2$ ، رسم پلات اثرات  $R^2$ , Predicted  $R^2$ , P-value, F-value, مقابل متغیرهای فرآیند، بهوسیله نرم‌افزار دیزاین اکسپرت (11.0.3) انجام شد.

نتایج

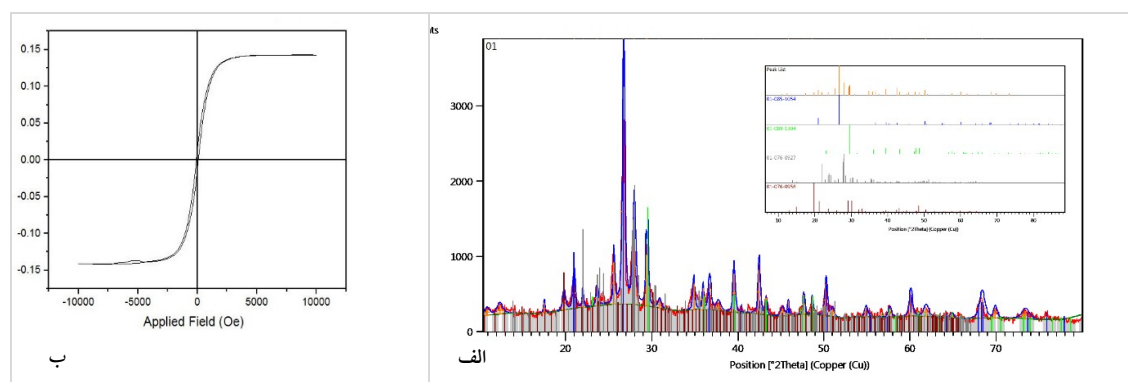
نتایج آنالیز میکروسکوپ الکترونی رویشی کمپوست مقیاس ۲ میکرومتر، بزرگنمایی ۲۵ هزار برابر)، نانوذره (McQ) و  $\text{Fe}_3\text{O}_4$  (مقیاس ۲۰۰ نانومتر، بزرگنمایی ۲۰۰ هزار) و تانوجاذب آلی (مقیاس ۱ میکرومتر تا ۲۰۰ نانومتر) در شکل (۲) مقایسه شده است. میکروگرافهای ساختار سطحی کمپوست نشان می‌دهند ذرات کمپوست با تخلخل مناسب دارای مورفولوژی نامنظم و ابعادی در بازه ۱ تا ۵ میکرومتر

قطع میدان، سریعاً گشتاور مغناطیسی خود را از دست می‌دهد. مغناطیس اثبات نمونه برابر  $140/0$  ای ام برو گرم اندازه‌گیری گردید (شکل ۳-ب).

میدان به صفر می‌رسد، پسمند مغناطیسی به صورت حلقه باریک در جاذب باقی می‌ماند. در این مطالعه، حلقه پسمند ماهیت نرم جاذب و خاصیت فرومغناطیسی از خود نشان داد، بهطوری که با اعمال میدان مغناطیسی به راحتی مغناطیله و با



شکل ۲. تصاویر FESEM (الف) جاذب کمپوست (مقیاس ۲ میکرومتر)، ب) نانوجاذب آلی بهتریب در مقیاس‌های ۱ میکرومتر و ۲۰۰ نانومتر



شکل ۳. (الف) طیف پراش اشعه ایکس XRD، ب) آنالیز مغناطیس سنجی نمونه ارتعاشی VSM نانوجاذب آلی Com/Fe3O4

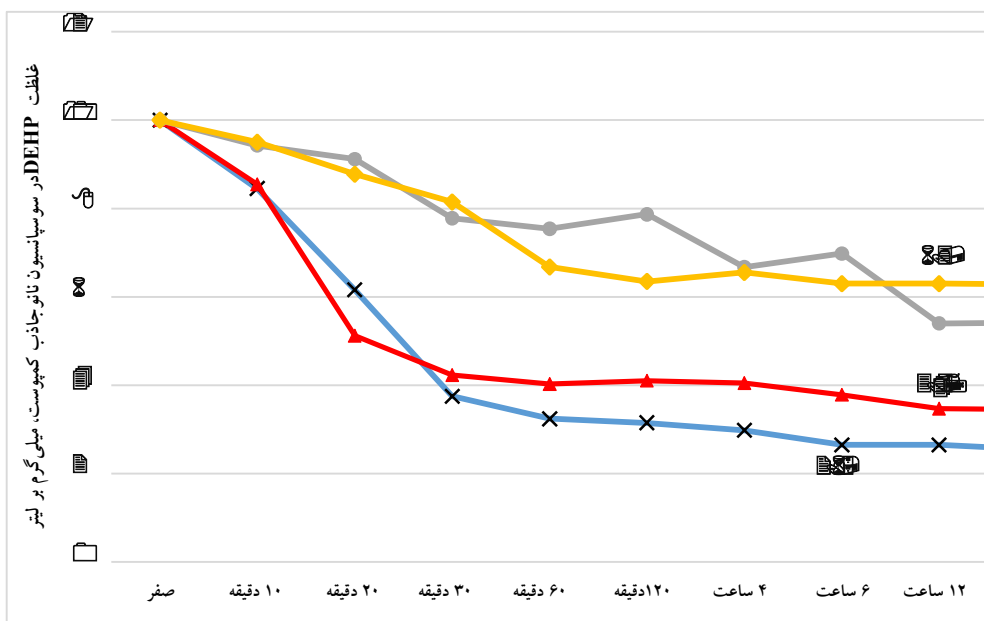
مختلف، تقریباً مشابه بوده و غلظت باقی‌مانده DEHP در دمای ۲۵ درجه سانتی‌گراد به دنبال کاهش سریع در ساعت اول بعد از ۶ ساعت در سوپیانسیون کمپوست در حد  $2/65$  میلی‌گرم بر لیتر ثابت مانده است. مقدار باقی‌مانده DEHP بین

آزمایش‌های تعادلی سینتیک و ایزووترم جذب DEHP نمودار سینتیک جذب DEHP برای غلظت پایه ۱۰ میلی‌گرم بر لیتر در ۲۴ ساعت (شکل ۴) نشان داد روند تغییرات منحنی سوپیانسیون نانوجاذب آلی در دماهای

## قابلیت نانو حاذب آلی، با باهه کمپوست (Compost/Fe<sub>3</sub>O<sub>4</sub>NPs) در یاک سازی خاک های آلوده/۱۶۹

دماهی، در مقایسه با کنترل به نوعی فرآیند توزیع دو مرحله‌ای را نشان داد. نمودار در دمای پایین‌تر میزان جذب بیشتری را نشان داد که می‌تواند نشان‌دهنده اگزوترمیک بودن (خودبه‌خودی) جذب فتالات بر روی جاذب باشد و با افزایش دما راندمان آن کاهش یابد.

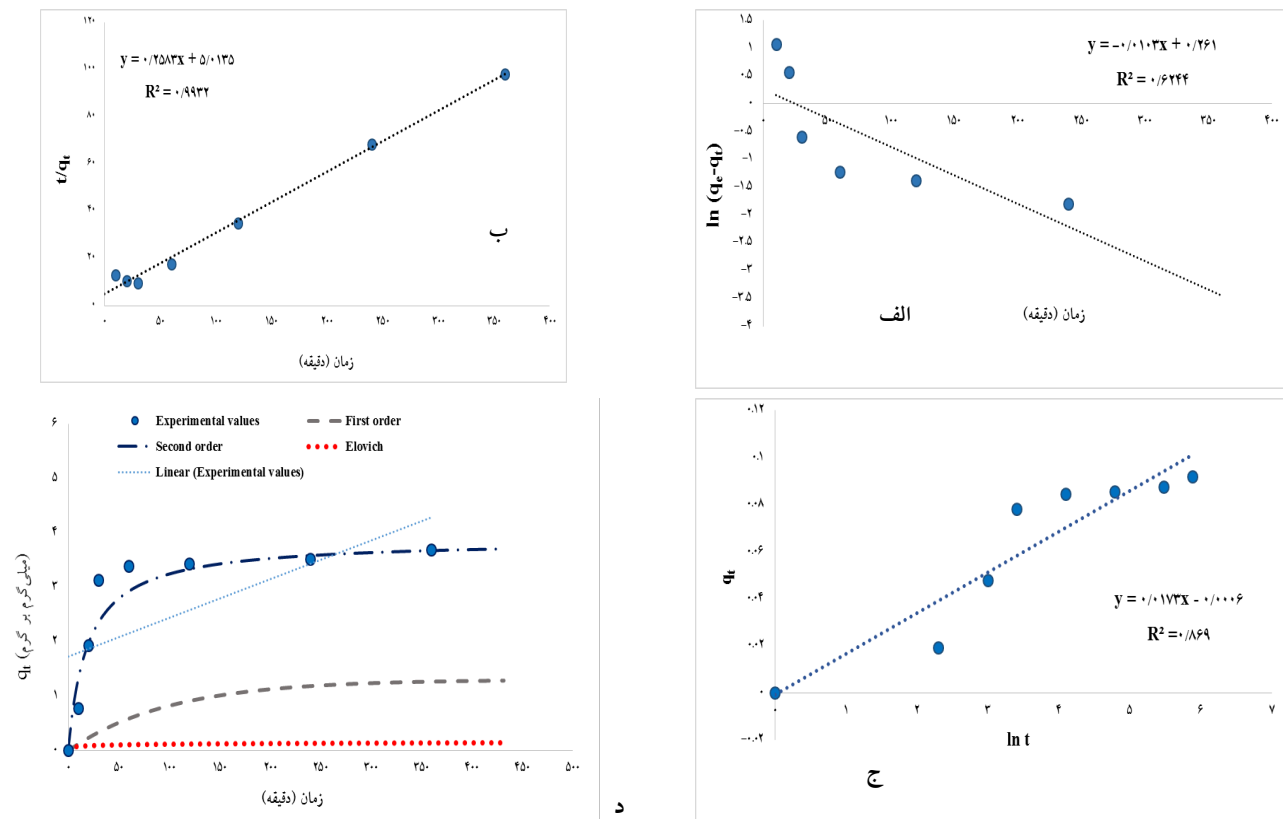
۶ ساعت و توالی‌های بعدی، تغییر معنی‌داری نداشت ( $0/05 < p$ )، بنابراین با فرض رسیدن به بالاتس کافی، ۶ ساعت به عنوان زمان تعادل سوسپانسیون کمپوست در دمای ۲۵ درجه سانتی‌گراد و ۱۲ ساعت به عنوان زمان تعادل محلول در ۳۵ درجه سانتی‌گراد در نظر گرفته شد. نتایج جذب برای دو حد



شکل ۴. نمودار سینتیک جذب سطحی DEHP در سوسپانسیون نانو حاذب آلی Compost/Fe<sub>3</sub>O<sub>4</sub>

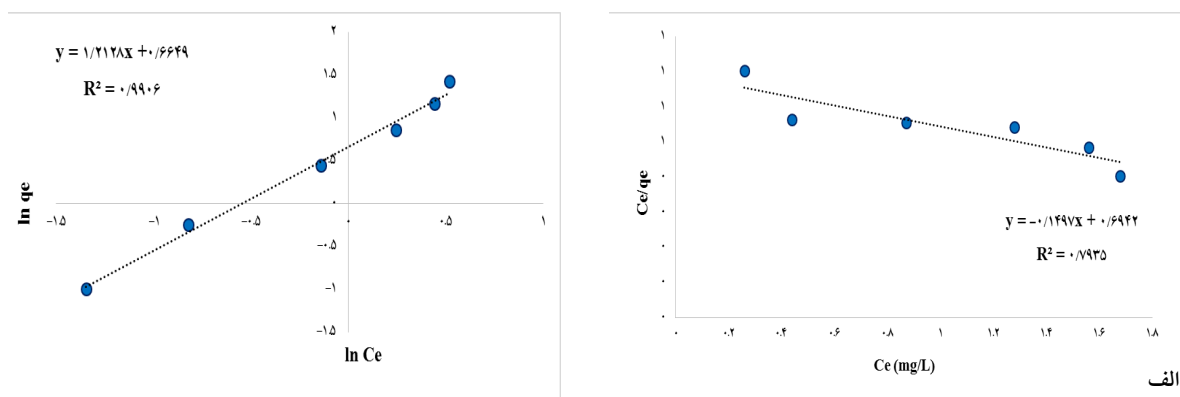
ضریب همبستگی مدل فروندلیچ ( $R^2 = 0/9906$ ) بیشتر از لانگمویر ( $R^2 = 0/7935$ ) و تمکین ( $R^2 = 0/8644$ ) بود و فرآیند با مدل جذب چند لایه‌ای و ناهمگن فروندلیچ برازش بیشتری نشان داد. منحنی ایزوترمی لانگمویر و فرندولیچ در دوز ثابت نانو حاذب (۲ گرم بر لیتر)، دمای ثابت ۲۵ درجه سانتی‌گراد (۲۹۸ درجه کلوین)، بر مبنای متغیر غلظت آلایینده ( $C_0$ ) (۰-۱۰ میلی گرم بر لیتر) و غلظت تعادلی باقی‌مانده ( $C_e$ ) (۰-۱۶۸ میلی گرم بر لیتر) در اشکال (alf-B) ارایه شد.

مقادیر پارامترهای سینتیک خطی معادلات شبه درجه اول و دوم کاذب و الوریچ، با استفاده از ضریب  $\times$  شیب خط در معادله و مقدار عرض از مبدأ پارامترهای سینتیک با نرم‌افزار اکسل محاسبه و نمودارهای مربوطه در اشکال (alf، ب و ج) ارایه شد. ضریب رگرسیون در مدل خطی شبه درجه دوم کاذب بیشتر از الوریچ و شبه درجه اول کاذب و معادل مناسب داده‌ها با این مدل را نشان داد (جدول ۳). در شکل (۵) نمودارهای معادلات غیرخطی سینتیک مقایسه شد. به دنبال مقایسه پارامترهای مدل‌های ایزوترمی خطی (جدول ۳)،



جدول ۳ مقایسه پارامترهای سیستیک و اینزوترم جذب سطحی DEHP

پارامترهای خطی اینزوترم						تمکین												
پارامترهای خطی سیستیک			لانگمویر			فروندلیج												
الوبیج	شبه درجه دوم کاذب	شبه درجه اول کاذب	R2	k1	qe	R2	k2	qe	R2	qmax	KL	R2	KF	n	AT l.g-1	bT	B J.mol-1	R2
۰/۱۱۵۰۳	۰/۵۷۸۰۳	۰/۸۶۹	۰/۰۱	۱/۲۹۸	۰/۶۲۴	۰/۰۱۳۳	۳/۸۷۱۵	۰/۰۹۹۳	۰/۷۹۳	۶/۷۱۱	۰/۲۱۵	۰/۹۹۱	۱/۹۴۳	۰/۸۲۵	۳/۸۱	۱۳۸۰/۱۸۹	۰/۸۶۴	



شکل ۶ نمودار اینزوترم جذب سطحی DEHP روی جاذب Compost/Fe<sub>3</sub>O<sub>4</sub>: (الف) لانگمویر، (ب) فروندلیج

## قابلیت نانو جاذب آلی با یا به کمپوست (Compost/Fe<sub>3</sub>O<sub>4</sub>NPs) در باکسازی خاک‌های آلوده/۱۷۱

در جدول (۵) ارایه شده است. معادله پیشنهادی نرم‌افزار برای پاسخ درصد راندمان جذب DEHP، مدل درجه دوم Quadratic می‌باشد که متغیرها برهم‌کنش و توان دوم آنها را دربرمی‌گیرد ( $P\text{-value} < 0.05$ ).

### تناسب آماری و اعتبارسنجی مدل در طراحی بهینه RSM/CCD

نتایج آنالیز کارآیی جذب آلاینده در اجراهای مختلف آزمایش و با توجه به سطوح انتخابی متغیرهای مستقل در جدول (۴) و پارامترهای تناسب آماری معادلات رگرسیونی

جدول ۴. دامنه و سطوح متغیرهای مورد بررسی و نتایج آنالیز کارآیی جذب (RSM/CCD) DEHP

DEHP Sorption Efficiency %	C: DEHP concentration (X <sub>3</sub> ) (میلی گرم بر لیتر)	پاسخ (درصد کارآیی جذب)	فاکتور ۳	فاکتور ۲	فاکتور ۱	اجرا
			B: pH (X <sub>2</sub> )	A: Sorbent dose (X <sub>1</sub> ) (گرم بر لیتر)		
۲۲	۱۰	۳	۲	۱	نقطه فاکتوریل	۱
۴۷/۲۵	۵	۱۱	۵	۲	نقطه فاکتوریل	۲
۱۶	۷/۵	۱۴	۳/۵	۳	نقطه محوری	۳
۶۵/۱۵	۷/۵	۷	۳/۵	۴	نقطه مرکزی	۴
۶۸/۰۳	۳/۳	۷	۳/۵	۵	نقطه محوری	۵
۶۵/۳۵	۷/۵	۷	۳/۵	۶	نقطه مرکزی	۶
۶۵/۳۵	۷/۵	۷	۳/۵	۷	نقطه مرکزی	۷
۱۲/۲۸	۱۰	۱۱	۲	۸	نقطه فاکتوریل	۸
۶۵/۱۸	۷/۵	۷	۳/۵	۹	نقطه مرکزی	۹
۶۰/۱۵	۷/۵	۷	۶	۱۰	نقطه محوری	۱۰
۶۲/۳۸	۵	۳	۵	۱۱	نقطه فاکتوریل	۱۱
۵۱/۲۵	۵	۳	۲	۱۲	نقطه فاکتوریل	۱۲
۳۲/۲۸	۵	۱۱	۲	۱۳	نقطه فاکتوریل	۱۳
۲۵	۱۰	۳	۵	۱۴	نقطه فاکتوریل	۱۴
۲۸	۱۲	۷	۳/۵	۱۵	نقطه محوری	۱۵
۳۶	۷/۵	۰/۲۷	۳/۵	۱۶	نقطه محوری	۱۶
۶۵/۳۷	۷/۵	۷	۳/۵	۱۷	نقطه مرکزی	۱۷
۶۵/۳۸	۷/۵	۷	۳/۵	۱۸	نقطه مرکزی	۱۸
۳۵/۰۴	۱۰	۱۱	۵	۱۹	نقطه فاکتوریل	۱۹
۲۵/۵۶	۷/۵	۷	۰/۹۸	۲۰	نقطه محوری	۲۰

جدول ۵. پارامترهای تناسب آماری معادلات برای متغیر پاسخ درصد راندمان جذب DEHP

پارامتر آماری						
Adeq Precision	PRESS	Predicted R <sup>2</sup>	Adjusted R <sup>2</sup>	R <sup>2</sup>	p-value	انحراف معیار
۶۰۰۴/۵۹	۰/۱۹۰۶	۰/۳۳۱۳	۰/۴۳۶۹	۰/۰۲۳۸	۱۶/۶	خطی
۱۰۴۹۸/۷۷	-۰/۴۱۵۱	۰/۲۱۹۸	۰/۴۶۶۲	۰/۸۶۸۱	۱۷/۴۵	2FI
مدل پیشنهادی	۲۴/۹۹۴۵	۷۸۳/۱۵	۰/۸۹۴۴	۰/۹۷۵۳	۰/۰۰۰۱<	۳/۱۱ درجه دوم

غلظت آلاینده (X<sub>3</sub>) (ضریب +۴/۳۰) را بر متغیر پاسخ Y نشان می‌دهد. اثر منفی توان دوم pH (X<sub>2</sub><sup>2</sup>) (ضریب -۱۴/۱۹) در مقایسه با سایر ترم‌ها، بالاتر بود.

معادله تجربی پاسخ جذب بر حسب فاکتورهای کدگذاری و ضرایب آنها (معادله ۴)، تاثیر هم‌افزایی دوز جاذب X<sub>1</sub> (ضریب +۸/۰۶) همراه با تاثیر هم‌افزایی برهم‌کنش دوز جاذب با pH (X<sub>2</sub>) (ضریب +۲/۹۵) و دوز جاذب با

$$\text{DEHP Sorption Efficiency (Y, %)} = +65.34 + 8.06 X_1 - 4.94 X_2 - 12.17 X_3 + 2.95 X_1 X_2 + 4.30 X_1 X_3 - 8.23 X_1^2 - 14.19 X_2^2 - 6.41 X_3^2 \quad (\text{معادله ۴})$$

و تنها  $0/01$  درصد شانس وجود دارد که F بدن بزرگی بهدلیل نویز (خطا) ایجاد شود. غلطت (C) DEHP ( $F-value: 230/14$ ; SS:  $2021/69$ ; P-value:  $0/0001$ ) در مقایسه با دو پارامتر دیگر بیشترین اثر را بر پاسخ داشته و معنی دار است. بعد از آن ترم معنی دار دوز جاذب در مرتبه دوم اهمیت قرار می‌گیرد. قابل ذکر است مقدار F-value =  $1514/69$  پارامتر عدم تناسب معنی دار و تنها  $0/01$  درصد شانس وجود دارد که lack of Fit F-value بدن بزرگی بهدلیل نویز (خطا) ایجاد شود. بنابراین معنی دار بودن این پارامتر مناسب نبوده و در طراحی لحاظ نگردیده است.

بر اساس آنالیز آماری ANOVA، مدل رگرسیون درجه دوم از نظر آماری معنی دار و مناسب طراحی فضایی می‌باشد (F-value:  $104/19$ ; df: ۸; P-value <  $0/0001$ ). ترم های مدل برای  $A^2$ ,  $B^2$ ,  $BC$ ,  $AB$ ,  $C$ ,  $B$ ,  $A$  و  $C^2$  معنی دار ( $P < 0/05$ ) (برهمنکنش دوز value) و در مدل لحاظ گردید و ترم AC (برهمنکنش دوز جاذب و غلطت آلاینده) بهدلیل معنی دار نبودن، جهت تناسب مدل، در طراحی نادیده گرفته شد. بنابراین نتایج آنالیز مدل، در طراحی نادیده گرفته شد. بنابراین نتایج ANOVA مدل درجه دوم کاهش یافته<sup>۱</sup> در جدول (۶) گزارش گردید.

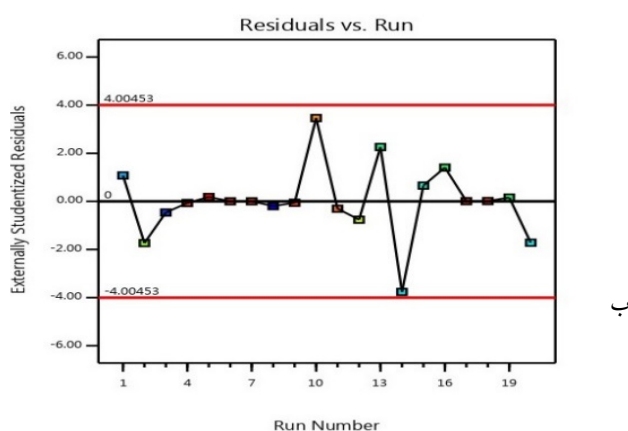
معادل F-value  $104/19$  به معنی دار بودن مدل است

جدول ۶ آنالیز ANOVA مدل درجه دوم کاهش یافته برای کارآمدی درصد جذب DEHP

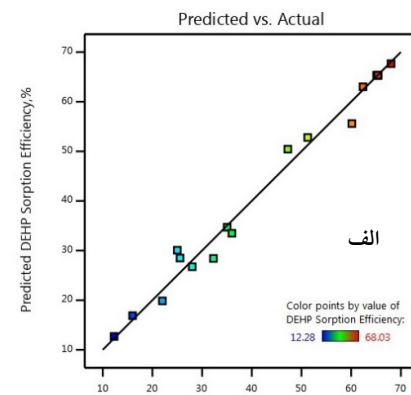
نتیجه	p-value	F-value	میانگین مربیات	درجه آزادی	مجموع مربیات	منبع
معنی دار	$0/0001 >$	$104/19$	$915/29$	۸	$7322/31$	مدل
معنی دار	$0/0001 >$	$100/92$	$886/54$	۱	$886/54$	Dوز جاذب (X1)
معنی دار	$0/0001 >$	$37/88$	$332/79$	۱	$332/79$	B(X2) pH
معنی دار	$0/0001 >$	$230/14$	$2021/69$	۱	$2021/69$	C(X3) DEHP غلطت
معنی دار	$0/0168$	$7/93$	$69/62$	۱	$69/62$	AB
معنی دار	$0/0017$	$16/86$	$148/09$	۱	$148/09$	BC
معنی دار	$0/0001 >$	$111/25$	$977/26$	۱	$977/26$	$A^2$
معنی دار	$0/0001 >$	$330/52$	$2903/41$	۱	$2903/41$	$B^2$
معنی دار	$0/0001 >$	$67/42$	$592/22$	۱	$592/22$	$C^2$
معنی دار			$8/78$	۱۱	$96/63$	(Residual) باقی مانده
معنی دار	$0/0001 >$	$1514/69$	$16/10$	۶	$96/58$	عدم تناسب (Lack of Fit)
	$0/0106$			۵	$0/0531$	Pure Error
				۱۹	$7418/94$	Cor Total

نیز پراکندگی داده‌ها را در محدوده تعیین شده نشان می‌دهد. با توجه به نتایج نمودار باکس کاکس، ترانسفورماتیون نیاز نبوده و بهینه پارامتر Lambda با  $95$  درصد تغییرات،  $1/08$  تعیین و مدل از تناسب خوبی برخوردار بوده است.

پراکندگی داده‌های پیش‌بینی شده با داده‌های آزمایش‌ها (شکل ۷الف)، همخوانی مناسب داده‌ها را برای پاسخ راندمان جذب، تایید می‌کند. نمودار آماری باقی‌مانده‌های استیوینست شده بیرونی (مقدار انحراف، انحراف معیار مقدار واقعی از مقدار پیش‌بینی شده) نسبت به اجراء‌های آزمایش (شکل ۷ب) نسبت به اجراء‌های آزمایش آزمایش



ب

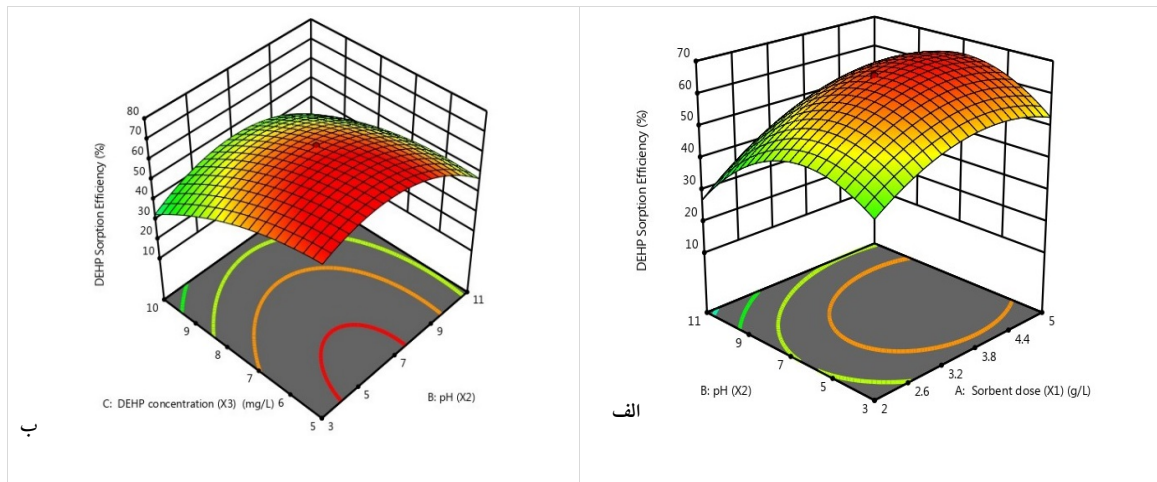


شکل ۷. (الف) نمودار پراکندگی داده‌های پیش‌بینی شده با داده‌های آزمایش‌ها، (ب) باقی‌مانده نسبت به اجراء‌های آزمایش

و pH (X<sub>2</sub>X<sub>3</sub>) بر کارآیی جذب، در نقطه مرکزی دوز جاذب (۳/۵ گرم بر لیتر)، بهویژه در غلظت‌های پایین‌تر (کمتر از ۶ میلی‌گرم بر لیتر) و pH محدوده (۴-۷/۵) DEHP قوی‌تر می‌باشد (شکل ۸). با افزایش دوز جاذب (تا نقطه پیشینه) اثر ترکیبی (X<sub>2</sub>X<sub>3</sub>) در محدوده pH خشنی بیشتر و تأثیر معنی‌دار مثبت بر راندمان جذب خواهد داشت.

### برهمکنش متغیرهای مستقل / بهینه‌سازی راندمان جذب DEHP

پلات سه‌بعدی برهمکنش دوز جاذب، pH و غلظت آلاینده بر کارآیی جذب نشان می‌دهد در نقطه مرکزی pH (۷/۵ میلی‌گرم بر لیتر)، اثر ترکیبی دوز جاذب (X<sub>1</sub>) و pH (X<sub>2</sub>) (ایترکشن X<sub>1</sub>X<sub>2</sub>) بر کارآیی جذب بهویژه در دوز‌های بالاتر جاذب، بیشتر است (شکل ۸‌الف). اثر ترکیبی غلظت

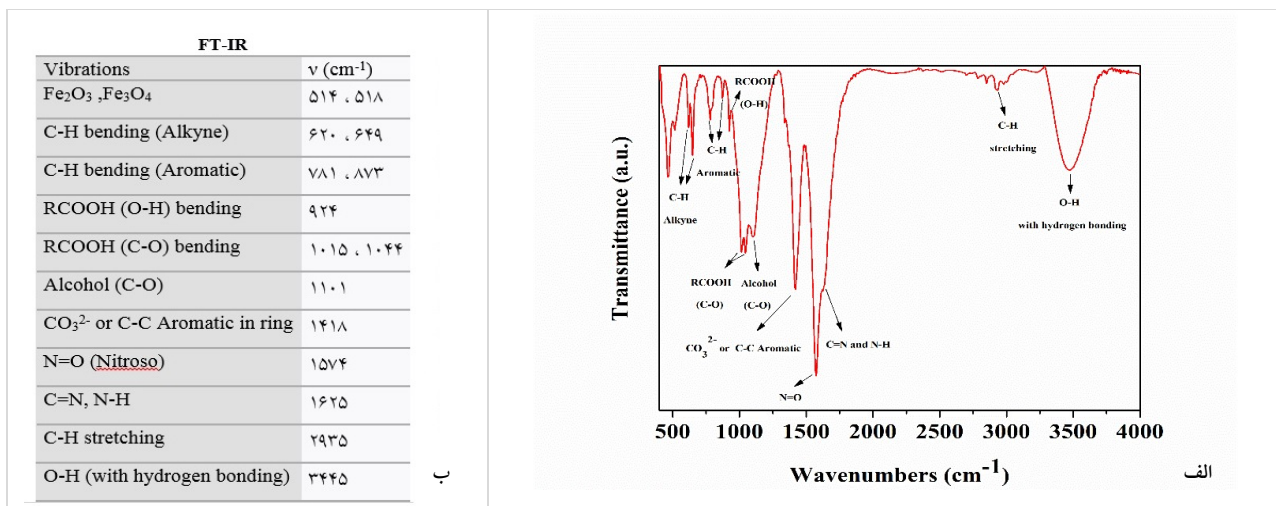


شکل ۸ تأثیر متقابل متغیرهای مستقل بر راندمان جذب DEHP (۷/۵ میلی‌گرم بر لیتر) و (ب) دوز جاذب (۳/۵ گرم بر لیتر) بهینه‌سازی درصد کارآیی جذب DEHP بر نانو حاذب فرانسی (۳۳۰۰-۳۵۰۰) بر سانتی‌متر را می‌توان به ارتعاشات کششی گروه هیدروکسیل (O-H) (الکل، فنل، کربوکسیل و پیوند هیدروژنی، مرتبط دانست. باندهای تیز قوی در محدوده فرانسی (۱۴۰۰-۱۶۵۰) بر سانتی‌متر، نشان‌دهنده ارتعاشات کششی (C-C) آروماتیک (حلقه) محتمل در ساختار آلی کمپوست و یا دی‌استراسیدفتالیک در ساختار DEHP بعد از جذب فتالات)، ارتعاشات خمشی ساختار آلی کمپوست (N-H) و (N=O) (Nitroso)، (C=N) می‌باشد. باند در محدوده (۵۱۴-۵۱۸) بر سانتی‌متر، مطابق با نوار مشخصه Fe<sub>3</sub>O<sub>4</sub> است که با توجه به پیشینه تحقیق، به ترکیب Fe<sup>2+</sup> و Fe<sup>3+</sup> در نمونه نسبت داده می‌شود (Kumar *et al.*, 2013; Margenot *et al.*, 2015; Minling *et al.*, 2015; Song *et al.*, 2021).

کمپوست از طریق روش بهینه‌سازی عددی و با استفاده از توابع مطلوبیت، انجام شد. هدف مطلوب متغیرهای مستقل (X<sub>1</sub>) و (X<sub>2</sub>) در محدوده طراحی آزمایش، (X<sub>3</sub>) در بازه ۱۰-۱۱ و هدف راندمان جذب در وضعیت ماکریم ۷۵ درصد با وزن یک، تعریف شد. بر طبق منحنی مطلوبیت، مقدار بهینه راندمان جذب (۷۴/۱۷۳ درصد) در شرایط دوز جاذب ۴/۱۵۷ گرم بر لیتر، pH ۵/۸۵ معادل DEHP ۴/۸۸ میلی‌گرم بر لیتر با مطلوبیت ۹۸۷/۰ حاصل گردید.

### شناسایی پیوند و گروه‌های عاملی جاذب در شرایط بهینه تکرار آزمایش

در طیف‌های جنبی FTIR جاذب بعد از جذب DEHP (شکل ۹)، بیشترین تغییرات ساختاری گروه‌های عاملی بدین شرح است: وجود باند پهن متوسط تا قوی در محدوده

شکل ۹. (الف) طیف مادون قرمز (FTIR)، (ب) پیوندهای محتمل ساختار جاذب DEHP بعد از جذب Compost/Fe<sub>3</sub>O<sub>4</sub>

جذب سطحی DEHP از مدل ایزوتروم فروندلیچ، تمایل متغیر سایت‌های بایاندینگ (پیوند) سطوح ناهمگن ذرات کمپوست را به جذب نشان می‌دهد. در پیشینه تحقیق، برآراش مناسب داده‌های جذب سطحی رنگ‌های اسیدی از طریق کمپوست مواد سلولزی با مدل جذب چند لایه‌ای و ناهمگن فروندلیچ، گزارش شده که به نوعی با یافته‌های پژوهش همخوانی دارد (Anastopoulos & Kyzas, 2015).

مقایسه طیف‌های جذبی FTIR قبل و بعد جذب DEHP مشارکت فعال باندهای O-H را در جذب فتالات نشان می‌دهد. تغییر موقعیت باند متنسب به هیدروکسیل (OH) (N-) گروه‌های عاملی فنل، الكل، کربوکسیل و آمین نوع اول (H) از ۳۴۶۵/۰۸ بر سانتی متر (قبل از جذب) به ۳۴۷۱/۵۳ بر سانتی متر (بعد جذب) و پیدایش باندهای جدید-C(=O)-RCOOH (O-H), O) در موقعیت‌های ۱۰۴۴/۵ بر سانتی متر و ۹۲۴/۶۳ بر سانتی متر، برهمکنش اتم اکسیژن گروه استرفتالات (C=O) با گروه‌های عاملی دارای باند هیدروکسیل جاذب را تایید می‌کند. این نتایج با تجربیات محققین Ma همکاران (۲۰۲۱) همخوانی دارد که اظهار داشتن گروه هیدروکسیل سطح کمپوست با اتم اکسیژن گروه استری ترکیبات پلاستی سایزر (مانند فتالات) به‌ویژه در شرایط pH قلیایی و در حضور رطوبت، پیوند هیدروژنی تشکیل و جذب فتالات‌ها و کمپوست را افزایش می‌دهند. تشکیل پیوند هیدروژنی با گروه‌های عاملی جاذب در جذب فتالات، موثر است. ضمن آنکه گروه‌های استری به عنوان گیرنده‌های

### بحث و نتیجه‌گیری

در این مطالعه پتانسیل جذب سطحی DEHP بر جاذب زیستی کمپوست غنی‌شده با نانوذره Fe<sub>3</sub>O<sub>4</sub> شناسایی و مناسب‌ترین مدل تعادلی جذب با داده‌ها، برآراش و ارایه گردید. بر طبق نتایج سیتیک جذب سطحی DEHP با فرض تئوری توزیع دو مرحله‌ای، اولین مرحله در عرض چند دقیقه تا یک ساعت سریعاً به پایان رسید (انتشار خارجی) و مرحله دوم توزیع، طولانی‌مدت و آهسته است که می‌تواند به انتشار داخلی و جذب روی سایت‌های فعال جاذب متنسب گردد. با این فرض، مولکول‌های آلینده وارد ساختار مواد آلی و منافذ نانوذرات معدنی جاذب شده و بعد از چند ساعت به تعادل نهایی می‌رسند. مکانیسم توزیع دو مرحله‌ای برای ترکیب دی بوتیل فتالات (DBP) در بستر خاک توسط محققین Minling و همکاران (۲۰۱۵) نشان داده شد که با نتایج این مطالعه همخوانی دارد. از طرفی، یافته‌های سیتیک این مطالعه از نظر برآراش با مدل سیتیک شبه درجه دوم با نتایج پژوهش Qureshi همکاران (۲۰۱۶) که برای جذب دی‌اتیل‌هگزیل‌فتالات از کامپوزیت رسی استفاده کردند، همخوانی دارد. اکثر مطالعات جذب بر روی کمپوست نیز با مدل سیتیک شبه درجه دوم برآراش شده است (Anastopoulos & Kyzas, 2015). در این پژوهش نیز، به نوعی برآراش داده‌های جذب DEHP با نوع خطی این مدل، احتمال بالای جذب شیمیایی را نشان می‌دهد. تبعیت فرآیند

می‌توانند در این مطالعه نیز سازوکار جذب تقویت شده از طریق نانوذرات آهن را در شرایط بهینه طراحی آزمایش در pH معادل ۵/۸۵ توجیه کنند. ضمن آنکه نانوذرات کروی Fe<sub>3</sub>O<sub>4</sub> به طور موثر ظرفیت جذب سطحی را با افزایش تعداد گروه‌های عاملی دارای اکسیژن، بهبود می‌بخشند (Chang *et al.*, 2021).

احتمالاً نانوذرات Fe<sub>3</sub>O<sub>4</sub> به طور برگشت‌پذیر با بخش قطبی DEHP و از طریق برهم‌کنش الکترواستاتیکی با ذرات کمپوست با بار منفی در مکانیسم جذب دخیل هستند. با توجه به آنکه اکثر مطالعات بر کاربرد جاذب زیستی کمپوست بر حذف موثر فلزات سنگین و رنگ از محیط‌های آبی متمرکز بوده است، نتایج پژوهش حاضر نشان داد استفاده از کمپوست رسیده زائدات فسادپذیرخانگی می‌تواند به عنوان جاذب زیستی ارزان و دوستدار محیط زیست، در جذب آلاینده آلی سخت تجزیه‌پذیر DEHP با راندمان قابل قبول، موثر باشد. ضمن آنکه اصلاح گروه‌های عاملی کمپوست با Fe<sub>3</sub>O<sub>4</sub> در مقیاس آزمایشگاهی، نتیجه قابل قبولی را نشان داد. ارتقای سطح جذب DEHP ضمن افزایش فراهمی زیستی آلاینده در خاک، در کمک به فرآیند زیست‌پالایی کمپوست، موثر و نویدبخش خواهد بود. ردیابی ترکیبات فتالات در نمونه حلال استخراجی (دی‌کلرومتان) از مهمترین محدودیت‌های این مطالعه بود که با تعییر نوع حلال، شرکت سازنده و استفاده از حلال با درجه خلوص بالا (گرید کروماتوگرافی) ذخیره شده در مخازن شیشه‌ای، برطرف گردید. بنابراین قبل از انجام آنالیز، حلال‌های مورد استفاده از نظر وجود فتالات آزمایش گردیدند. تحقیقات بیشتر بر جذب هم‌زمان دو یا چند ترکیب فتالات (با زنجیره آکیل متفاوت) از طریق سویستراهای مختلف کمپوست، بهمنظور شناسایی قابلیت جاذب زیستی کمپوست در حذف کارآمد ترکیبات شبه استروژنی فتالات از محیط پیشنهاد می‌گردد.

### سپاسگزاری و قدردانی

این پژوهش با حمایت دانشکده منابع طبیعی و محیط زیست واحد علوم و تحقیقات دانشگاه آزاد اسلامی تهران و گروه محیط‌زیست و بیوتکنولوژی پژوهشکده صنعت نفت (RIPI) انجام شده است. بدین وسیله از زحمات مسئول محترم آزمایشگاه آب و فاضلاب دانشکده منابع طبیعی و

الکترون با دهنده الکترون از جاذب برهم‌کنش و پیوند از نوع Ye π-π electron-donor-acceptor (EDA) (et al., 2021). مقادیر بالای سیلیس و اکسیژن (کشش Si-O-Si) کمپوست نیز طبق نظر Minling و همکاران (2015) می‌تواند محیط کافی برای تعامل تبادلی جذب ترکیبات فتالات مانند دی‌بوتیل‌فتالات را فراهم کند. اساساً بعد از جذب فتالات بهویژه در محدوده فرکانسی بالا، به دلیل حضور پیوندهای کربونیل، هم‌پوشانی زیادی بین گروه‌های (C-H)، (C=O)، (C=C)، (C-C) و گروه‌های DEHP با گروه‌های آلی کربوکسیلیک (R-COOH) و گروه‌های الکلی (O-H) (Minling *et al.*, 2015) مشاهده می‌شود.

در بحث اعتبارسنجی مدل در طراحی مرکزی، مقدار Adjusted R<sup>2</sup> برای مدل دو جمله ای ۰/۹۷۵۳ درصد تطابق داده‌ها) می‌باشد که از سایر معادلات بیشتر و عدد قابل قبولی است. پارامتر R<sup>2</sup> Predicted (قوی بودن مدل Adjusted برای پیش‌بینی) با مقدار ۰/۸۹۴۴ توافقی منطقی با Adjusted R<sup>2</sup> نشان داده و اختلاف‌شان کمتر از ۰/۲ می‌باشد. در مقایسه، مدل درجه دوم با توجه به کمتر بودن پارامترهای آماری انحراف‌معیار std.dev (۰/۱۱) و Press (۰/۱۵) متناسب‌تر است. ضمن آنکه پارامتر صحت کافی Adeq Precision مدل درجه دوم بزرگ‌تر از ۴ و قابل قبول است. در واقع نسبت سیگنال به نویز ۰/۹۹۴۵، نشان‌دهنده سیگنال کافی برای طراحی فضایی مدل در این مطالعه است. بر اساس مدل پیشنهادی نرم‌افزار در طراحی سطح پاسخ، علاوه بر تاثیر پیشتر پارامترهای غلظت آلاینده و دوز جاذب نسبت به pH، پلات سه بعدی برهم‌کنش دوز جاذب، pH و غلظت آلاینده، بر راندمان جذب نشان می‌دهد که در نقطه مرکزی DEHP، ایترکشن دوز جاذب (X<sub>1</sub>) و pH (X<sub>2</sub>) بر راندمان جذب بهویژه در دوزهای بالاتر جاذب، بیشتر است. بر اساس یافته‌های Baragano و همکاران (2020)، گروه‌های عاملی کربوکسیلیک و فنلی کمپوست در محدوده وسیعی از pH دارای بار منفی هستند، بنابراین با توجه به اینکه عموماً DEHP نیز در محیط دارای بار منفی است (Chang *et al.*, 2021)، وجود نانوذرات Fe<sub>3</sub>O<sub>4</sub> که دارای بار مثبت در سوسپانسیون‌های اسیدی و خنثی هستند (Yu *et al.*, 2014)

- Chai, C., Cheng, H., Ge, W., Ma, D. and Shi, Y. (2014) Phthalic Acid Esters in soils from vegetable greenhouses in Shandong Peninsula, East China. PLoS ONE, 9(4): e95701. Retrieved from [https://doi.org/10.1371/journal.pone.0095701/](https://doi.org/10.1371/journal.pone.0095701)
- Chang, X., Song, Z., Xu, Y. and Gao, M. (2021) Response of soil characteristics to biochar and Fe-Mn oxide-modified biochar application in phthalate-contaminated fluvo-aquic soils. Ecotoxicology and Environmental Safety, 225: 112755. Retrieved from <https://doi.org/10.1016/j.ecoenv.2021.112755/>
- Chen, M., Xu, P., Zeng, G., Yang, C., Huang, D. and Zhang, J. (2015) Bioremediation of soils contaminated with polycyclic aromatic hydrocarbons, petroleum, pesticides, chlorophenols and heavy metals by composting: Applications, microbes and future research needs. Biotechnology Advances, 33(6): 745–755. Retrieved from <https://doi.org/10.1016/j.biotechadv.2015.05.003/>
- Dankova, R., Jarosova, A. and Polakova, S. (2016) Analysis of Phthalate presence in agricultural soils in the Czech Republic. Polish Journal of Environmental Studies, 25(1): 443–446. Retrieved from <https://doi.org/10.15244/pjoes/60314/>
- European Commission. (2011) Technical support for the impact assessment of the review of priority substances under directive 2000/60/EC, COM (2011)875 final, pp.10-35.
- Gao, D.W. and Wen, Z.D. (2016) Phthalate esters in the environment: A critical review of their occurrence, biodegradation, and removal during wastewater treatment processes. Science of the total Environment, 541 (1): 986-1001. Retrieved from <https://doi.org/10.1016/j.scitotenv.2015.09.148/>
- Ghosh, S. and Sahu, M. (2022) Phthalate pollution and remediation strategies: A review. Journal of Hazardous Materials Advances, 6: 100065. Retrieved from <https://doi.org/10.1016/j.hazadv.2022.100065/>
- Giuliani, A., Zuccarini, M., Cichelli, A., Khan, H. and Reale, M. (2020) Critical review on the presence of phthalates in food and evidence of their biological impact. International Journal of Environmental Research and Public Health, 17(16): 5655-5655. Retrieved from <https://doi.org/10.3390/ijerph17165655/>
- Gonzalez-Escobar, J.L., Pereyra-Camacho, M.A., De Leon-Rodriguez, A., Grajales-Lagunes, A., Reyes-Aguero, A., Chagolla-Lopez, A. and de la Rosa, A.P.B. (2020) Biodegradation of recalcitrant compounds and phthalates by culturable bacteria isolated from Liometopum apiculatum microbiota. World Journal of Microbiology and Biotechnology, 36(5): 73-73. Retrieved from <https://doi.org/10.1007/s11274-020-02850-1/>
- Gu, Y.Y., Wei, Q., Wang, L.Y., Zhang, Z.M., Zhang, X.O., Sun, A.L., Chen, J. and Shi X.Z. (2021) A comprehensive study of the effects of phthalates on marine mussels: Bioconcentration, enzymatic activities and metabolomics, Marine Pollution Bulletin, 168, 112393.
- محیط زیست سرکار خانم مهندس سهیلا سرورشته‌داری ناظری، تشکر و قدردانی می‌گردد.
- ### منابع
- دهقان، س.، رضایی کلانتری، ر.، نظری، ش.، مرادی، م.، رستگار، ا. و شیرزادسینی، م. (۱۳۹۶) بهینه‌سازی پارامترهای تحریب دی‌متیل‌فتلات توسط نانوذرات آهن صفر ظرفیتی با استفاده از روش سطح پاسخ: تعیین محصولات واسطه و مسیر فرآیند تحریب. مجله دانشگاه علوم پژوهشی مازندران، ۲۷(۲۷): ۲۱۶-۱۹۴.
- شریعتی، ش.، پوربابایی، ا.ا.، علیخانی، ح.، رضایی، ک. و شریعتی، ف. (۱۴۰۰) استرهای فتالیک اسید به عنوان آلاینده‌های نوظهور فرآگیر در محیط زیست و نقش آنها در تهدید امنیت غذایی و سلامت انسان: یک مطالعه مورثی. مجله تحقیقات آب و خاک ایران، ۵۲(۸): ۲۲۵۳-۲۲۷۷. قربانی، ف.، مولوی، ه.، فتحی، س. و پیری، ف. (۱۳۹۶) کاربرد روش سطح پاسخ جهت بهینه‌سازی حذف رنگ مالاشیت سبز با نانو جاذب-Cl<sup>-</sup>. مجله آب و فاضلاب، ۲۸(۴): ۸۹-۷۹.
- مصطفی‌لو، م.ج.، شریعتی، ف. و شریعتی، ش. (۱۳۹۷) بررسی فتلات‌ها در رسوبات تالاب انزلی، ایران. فصلنامه علمی-پژوهشی اکوپیولوژی تالاب، دانشگاه آزاد اسلامی واحد اهواز، ۱۰(۳۷): ۴۸-۳۷.
- نصیری، م.، ضیاءالدینی، م. و کر، ک. (۱۳۹۹) تعیین غلظت و توزیع فصلی آلاینده‌های فتلات استر در آب‌های سطحی خلیج چابهار. مجله علوم و فنون دریایی، ۱۹(۱): ۱۰۹-۱۲۰.
- Anastopoulos, I. and Kyzas, G.Z. (2015) Composts as biosorbents for decontamination of various pollutants: A review. Water, Air and Soil Pollution, 226(61): 1-16.
- Azari, A., Mahmoudian, M.H., Niari, M.H., Es, I., Dehganifard, E., Kiani, A., Javid, A., Azari, H., Fakhri, Y. and Khaneghah, A.M. (2019) Rapid and efficient ultrasonic assisted adsorption of diethyl phthalate onto FeIIIFe2IIIIO4@ GO: ANN-GA and RSM-DF modeling, isotherm, kinetic and mechanism study. Microchemical Journal, 150(11): 104144.
- Baragano, D., Forjan, R., Fernandez, B., Ayala, J., Afif, E. and Gallego, J.L.R. (2020) Application of biochar, compost and ZVI nanoparticles for the remediation of As, Cu, Pb and Zn polluted soil. Environmental Science and Pollution Research, 27(27): 33681-33691. Retrieved from <https://doi.org/10.1007/s11356-020-09586-3/>
- Billings, A., Jones, K. C., Pereira, M.G. and Spurgeon, D.J. (2021) Plasticisers in the terrestrial environment: Sources, occurrence and fate. Environmental Chemistry, 18(3): 111-130. Retrieved from <https://doi.org/10.1071/EN21033/>

- Ecotoxicology and Environmental Safety, 228: 112972. Retrieved from <https://doi.org/10.1016/j.ecoenv.2021.112972/>
- Ma, T., Zhou, W., Chen, L.K., Wu, L., Christie, P., Zhang, H. and Luo, Y. (2017) Toxicity effects of di-(2-ethylhexyl) phthalate to Eisenia fetida at enzyme, cellular and genetic levels. *PLoS One*, 12(3), e0173957.
- Marginot, A.J., Calderon, F.J., Bowles, T.M., Parikh, S.J. and Jackson, L.E. (2015) Soil organic matter functional group composition in relation to organic carbon, nitrogen, and phosphorus fractions in organically managed tomato fields. *Soil Science Society of America Journal*, 79(3): 772–782. Retrieved from <https://doi.org/10.2136/sssaj2015.02.0070/>
- Merck Company. (2023) A leading science and technology company, Merck KGaA, Darmstadt, Germany. Retrieved from [https://www.sigmadlrich.com/DE/en/substance/bis\\_2ethylhexylphthalate39056117817/](https://www.sigmadlrich.com/DE/en/substance/bis_2ethylhexylphthalate39056117817/)
- Minling, G., Xiaojun, M., Wenhua, S., Yun, Q. and Lin, W. (2015) Adsorption mechanism of Di-n-butyl Phthalate Easter on brown soil and red soil. *International Journal of Environmental Research, 9*(2): 605-611.
- Paradelo, R., Vecino, X., Moldes, A.B., and Barral, M.T. (2019) Potential use of composts and vermicomposts as low-cost adsorbents for dye removal: An overlooked application. *Environmental Science and Pollution Research, 26*(21): 21085–21097. Retrieved from <https://doi.org/10.1007/s11356-019-05462-x/>
- Qureshi, U.A., Gubbuk, I.H., Ersoz, M., Solangi, A.R., Taqvi, S.I. and Memon, S.Q. (2016) Preparation of polyaniline montmorillonite clay composites for the removal of diethyl hexyl phthalate from aqueous solutions. *Separation Science and Technology, 51*(2): 214-228.
- Radke, E.G., Galizia, A., Thayer, K.A., and Cooper, G.S. (2019) Phthalate exposure and metabolic effects: A systematic review of the human epidemiological evidence. *Environment International, 132*: 104768. Retrieved from <https://doi.org/10.1016/j.envint.2019.04.040/>
- Salvaggio, A., Tiralongo, F., Krasakopoulou, E., Marmara, D., Giovos, I., Crupi, R., Messina, G., Lombardo, B.M., Marzullo, A., Pecoraro, R., Scalisi, E.M., Copat, C., Zuccarello, P., Ferrante, M. and Brundo, M.V. (2019) Biomarkers of exposure to chemical contamination in the commercial fish species *Lepidopus caudatus* (Euphrasen, 1788): A Particular Focus on Plastic Additives. *Frontiers in Physiology, 10*(905):1-13.
- Shariati, S., Pourbabae, A.A., Alikhani, H.A. and Rezaei, K. (2022) Degradation of phthalic acid esters by the microbial consortium isolated from a contaminated soil. *Applied Soil Research, 10*(2): 1-13.
- Shariati, S., Pourbabae, A.A., Alikhani, H.A. and Rezaei, K.A. (2019) Assessment of phthalic acid esters pollution in Anzali wetland, north of Iran.
- He, L., Fan, S., Muller, K., Wang, H., Che, L., Xu, S., Song, Z., Yuan, G., Rinklebe, J., Tsang, D.C.W., Ok, Y.S. and Bolan, N.S. (2018) Comparative analysis biochar and compost-induced degradation of di-(2-ethylhexyl) phthalate in soils. *Science of the Total Environment, 625* (6): 987–993. Retrieved from <https://doi.org/10.1016/j.scitotenv.2018.01.002/>
- He, L., Gielen, G., Bolan, N.S., Zhang, X., Qin, H., Huang, H. and Wang, H. (2015) Contamination and remediation of phthalic acid esters in agricultural soils in China: a review. *Agronomy for Sustainable Development, 35*: 519-534. Retrieved from <https://doi.org/10.1007/s13593-014-0270-1/>
- Huang, L., Zhu, X., Zhou, S., Cheng, Z., Shi, K., Zhang, C. and Shao, H. (2021) Phthalic Acid Esters: Natural Sources and Biological Activities. *Toxins, 13*(7): 495. Retrieved from <https://doi.org/10.3390/toxins13070495/>
- Kalajahi, S.T., Rasekh, B., Yazdian, F., Neshati, J. and Taghavi, L. (2020) Green mitigation of microbial corrosion by copper nanoparticles doped carbon quantum dots nanohybrid. *Environmental Science and Pollution Research, 27*(32): 40537–40551. Retrieved from <https://doi.org/10.1007/s11356-020-10043-4/>
- Kumar, D.S., Kumar, P.S., Rajendran, N.M. and Anbuganapathi, G. (2013) Compost maturity assessment using physicochemical, solid-state spectroscopy, and plant bioassay analysis. *Journal of agricultural and food chemistry, 61*(47): 11326-11331. Retrieved from <https://doi.org/10.1021/jf4034943/>
- Kumar, M., Sarma, D.K., Shubham, S., Kumawat, M., Verma, V., Prakash, A., and Tiwari, R. (2020) Environmental endocrine-disrupting chemical exposure: Role in non-communicable diseases. *Frontiers in Public Health, 8*. Retrieved from <https://doi.org/10.3389/fpubh.2020.553850/>
- Lamraoui, I., Eltoukhy, A., Wang, J., Lamraoui, M., Ahmed, A., Jia, Y., Lu, T., and Yan, Y. (2020) Biodegradation of Di (2-Ethylhexyl) Phthalate by a novel *Enterobacter* spp. Strain YC-IL1 Isolated from Polluted Soil, Mila, Algeria. *International Journal of Environmental Research and Public Health, 17*(20): 7501. Retrieved from <https://doi.org/10.3390/ijerph17207501/>
- Li, Y., Wang, J., Yang, S. and Zhang, S. (2021) Occurrence, health risks and soil-air exchange of phthalate acid esters: A case study in plastic film greenhouses of Chongqing, China. *Chemosphere, 268*(4): 128821. Retrieved from <https://doi.org/10.1016/j.chemosphere.2020.128821/>
- Liu, Q., Chen, D., Wu, J., Yin, G., Lin, Q., Zhang, M. and Hu, H. (2018) Determination of phthalate esters in soil using a quick, easy, cheap, effective, rugged, and safe method followed by GC-MS. *Journal of Separation Science, 41*(8): 1812–1820. Retrieved from <https://doi.org/10.1002/jssc.201701126/>
- Ma, C.-M., Yu, T.-J., Yang, C.-H. and Hong, G.-B. (2021) Enhancement of plasticizer adsorption by utilizing a rice bran-derived adsorbent.

- disruptive properties. *Ecotoxicology and Environmental Safety*, 46(3): 305-321.
- Xie, Y., Liu, H., Li, H., Tang, H., Peng, H. and Xu, H. (2020) High-effectively degrade the di-(2-ethylhexyl) phthalate via biochemical system: Resistant bacterial flora and persulfate oxidation activated by BC@ Fe<sub>3</sub>O<sub>4</sub>. *Environmental Pollution*, 262: 114100. Retrieved from [https://doi.org/10.1016/j.envpol.2020.114100/](https://doi.org/10.1016/j.envpol.2020.114100)
- Xu, H., Cao, W., Sun, H., Zhang, S., Li, P., Jiang, S. and Zhong, C. (2021) Dose-dependent effects of Di-(2-Ethylhexyl) Phthalate (DEHP) in Mussel *Mytilus galloprovincialis*. *Frontiers Marine Science*, 8(658361): 1-10.
- Ye, H., Zhao, B., Zhou, Y., Du, J. and Huang, M. (2021) Recent advances in adsorbents for the removal of phthalate esters from water: Material, modification, and application. *Chemical Engineering Journal*, 409: 128127. Retrieved from <https://doi.org/10.1016/j.cej.2020.128127/>
- Yu, H., Li, Y., Li, X., Fan, L. and Yang, S. (2014) Highly dispersible and charge-tunable magnetic Fe<sub>3</sub>O<sub>4</sub> nanoparticles: Facile fabrication and reversible binding to GO for efficient removal of dye pollutants. *Journal of Materials Chemistry A*, 2(38): 15763–15767.
- International Journal of Environmental Science and Technology, 16(11): 7025–7036.
- Song, J., Srivastava, V., Kohout, T., Sillanpää, M. and Sainio, T. (2021) Montmorillonite-anchored magnetite nanocomposite for recovery of ammonium from stormwater and its reuse in adsorption of Sc<sup>3+</sup>. *Nanotechnology for Environmental Engineering*, 6(3): 55-55. Retrieved from <https://doi.org/10.1007/s41204-021-00151-y/>
- Tran, H.-T., Nguyen, M.-K., Hoang, H.-G., Hutchison, J. M. and Vu, C.T. (2022) Composting and green technologies for remediation of phthalate (PAE)-contaminated soil: Current status and future perspectives. *Chemosphere*, 307: 135989. Retrieved from <https://doi.org/10.1016/j.chemosphere.2022.135989/>
- US Research Nanomaterials, Inc. (2022) the advances nanomaterial provider, Houston, Tx USA. Retrieved from <https://www.us-nano.com/>
- Van Wezel, A.P., van Vlaardingen, P.O.S.T.H.U., Posthumus, R., Crommentuijn, G.H. and Sijm, D.T.H.M. (2000) Environmental risk limits for two phthalates, with special emphasis on endocrine

## The potential of compost-based organic nanoadsorbent (Compost/Fe<sub>3</sub>O<sub>4</sub>NPs) for contaminated soil remediation

Laleh Ghafghazi <sup>1</sup>, Lobat Taghavi <sup>2\*</sup>, Behnam Rasekh <sup>3</sup>, Hadi Farahani <sup>4</sup> and Amir Hessam Hassani <sup>5</sup>

- 1) Ph.D. Candidate, Department of Environmental Science and Forest, Faculty of Natural Resources and Environment, Science and Research Branch, Islamic Azad University, Tehran, Iran.
- 2) Associate Professor, Department of Environmental Science and Forest, Faculty of Natural Resources and Environment, Science and Research Branch, Islamic Azad University, Tehran, Iran. \*Corresponding Author Email Address: l.taghavi@srbiau.ac.ir
- 3) Associate Professor, Environment & Biotechnology Division, Research Institute of Petroleum Industry (RIPI), Tehran, Iran.
- 4) Associate Professor, Research Institute of Petroleum Industry (RIPI), Tehran, Iran.
- 5) Professor, Department of Environmental Engineering, Faculty of Natural Resources and Environment, Science and Research Branch, Islamic Azad University, Tehran, Iran.

Date of Submission: 2023/09/06

Date of Acceptance: 2023/11/01

### Abstract

One of the most important emerging pollutants in human health, food safety, and environmental protection challenges is phthalate esters. Among these, the contamination of agricultural soils with the endocrine-disrupting chemical Di (2-ethylhexyl) phthalate (DEHP) has been confirmed globally. In this research, the DEHP-absorption potential of compost enriched with Fe<sub>3</sub>O<sub>4</sub> NPs was identified. The effects of the sorbent dose in the range of 2–5 g.L<sup>-1</sup>, 3–11 pH, and DEHP concentration at 5–10 mg.L<sup>-1</sup> on absorption efficiency (%) were optimized via response surface methodology in design expert software. The kinetic equilibrium experiment results showed a two-step process, requiring 6 hours of equilibrium time for the exothermic adsorption process at 25°C. The adsorption process of DEHP fitted best to the pseudo-second-order kinetic ( $R^2 = 0.9932$ ) and the linear form of the Freundlich isotherm models. In the central composite design, the significant quadratic model was validated and used to predict the interaction of variables ( $P$ -value <0.0001, adjusted  $R^2 = 0.9753$ ). The optimum conditions of absorption efficiency (74.173%) were obtained at a sorbent dosage of 4.157 g.L<sup>-1</sup>, pH 5.85, and a DEHP concentration of 4.88 mg.L<sup>-1</sup> with a desirability of 0.987. The comparison of FTIR absorption spectra confirmed the active participation of O-H bands (functional groups of phenol, alcohol, and carboxyl) and primary amine (N-H) in the DEHP absorption through interaction with the oxygen atom of the phthalate ester group (C=O). As a result of its successful and acceptable efficiency, using compost/Fe<sub>3</sub>O<sub>4</sub> NP absorbent based on organic wastes is a low-cost and eco-friendly technique for DEHP removal from sensitive ecosystems and also to improve the efficiency of bioremediation in agricultural soils amended by compost.

**Keywords:** Di (2-ethylhexyl) phthalate, Environmental conservation, Organic waste, Response surface methodology, Soil health.